

Электричество и магнетизм.

① Эл.маг. взаимодействие и его место среди других взаимодействий в природе.
Электрический заряд. Микроскопическое понятие заряда. Опыт Милликена
Закон сохранения эл.заряда.

Фундаментальные взаимодействия (силы) в природе.

Вид взаимод.	Скор. процесса t при $W=1 \text{ ГэВ}$, сек	$F = W/t, \text{Н}$	Радиус действия, см.
Сильное	10^{-24}	10^{44}	10^{-18}
Электромагн.	10^{-21}	10^{11}	∞
Слабое	10^{-10}	1	10^{-16}
Гравитаци.	10^{+23}	10^{-33}	∞

• Электромагнитное взаимодействие - взаимодействие между электрическими зарядами иными телами или между электрическими зарядами иными телами и эл.маг. полем.

• Если тело электрически заряжено, то говорят, что оно имеет электрический заряд. Тот же электрический заряд - это физ. величина, вытекающая источником электромагнитных взаимодействий.

Под микроскопическим понятием зарядов понимаются заряженные частицы и ионы. Могут быть как положительный, так и отрицательный заряд.

По числовому значению он должен быть лишь в члене число раз больше элементарного: $e = 1,6021892(46) \cdot 10^{-19} \text{ кл.}$

Заряженность ионов обуславливается тем, что в электронной оболочке соответствующего атома или молекулы недостает одного или нескольких e (положительные ионы) или, наоборот, имеется лишнее (отриц. ионы).

• Взаимодействие между ионизированными заряженными телами (или ионами зарядами) называют электрическими или, точнее, электростатическими взаимод.

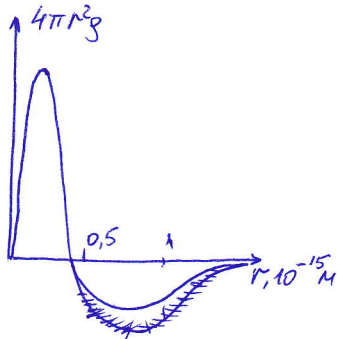
Электрок.: обычно принимается, что e является тогдой бесструктурной частицей.

Однако такое представление противоречиво:

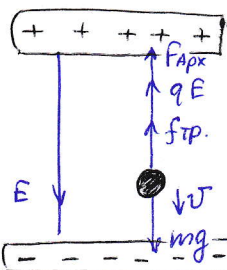
$W_{\text{эл.поле}} \text{ от тог.заряда} = \infty \Rightarrow m = \infty$ заряда, то же $= 9,1 \cdot 10^{-31} \text{ кг}$. С таким приходится мерить все.



распределение заряда в протоне.
(Второй пик наверно из-за кварковой структуры)

Нейтрон:

Размеры областей, в которых сосредоточены эл.-заряды, у протона и нейтрона примерно одинаковы.

Опыт Миликела

Маленькие шарообразные гаслицы движутся в везной птицеске при наличии однородного эл.-поля E . На гаслицу действуют подъемная сила, направленная против $f_{взр}$ ($f_{взр} > g_{возд}$) и сила против E (сила вязкого трения).

При постоянной скорости гаслицы $\sum F = 0$

Все силы можно измерить кроме qE , но т.к. E -известна, то можно определить

$$q \cdot mg = qE + f_{взр,тр} + F_{возд}$$

$$mg = qE + 6\pi\eta a^2 + M_{возд}g.$$

Заряд гаслицы со временем изменяется, что отражается на движении гаслицы. Определив q_1 и q_2 в разное время, можно определить $\Delta q = q_2 - q_1$.

Произведя большое число измерений зарядов, Чиликен нашел, что Δq является всегда целым, кратным единице и имеет величину $1e$:

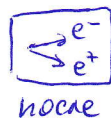
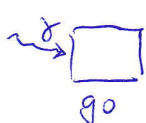
$$\Delta q = n \cdot 1e, n = \pm 1, \pm 2 \dots, |1e| = 1,6 \cdot 10^{-19} \text{ Кл.}$$

$$S = \frac{1}{\Delta V} \sum \frac{\Delta Q}{\Delta V} = \frac{\Delta Q}{\Delta V} \quad \begin{array}{l} \text{- объемная плотность зарядов.} \\ \text{- суммирование } \Delta Q \text{ с учетом знака} \end{array}$$

$$j = \frac{1}{\Delta V} \sum \frac{e_i v_i}{\Delta V}, \text{ где } v_i \text{- скорость } e_i \\ \text{- плотность тока.}$$

Закон сохранения эл.-заряда:

Алгебраическая сумма зарядов в \forall замкнутой системе сохраняется неизменной при \forall электрических взаимодействиях и превращениях веществ внутри этой системы.



Интегральная формулировка закона сохранения заряда:

$$\frac{\partial}{\partial t} \int_V \rho dV = - \oint_S j dS$$

$\underbrace{\text{скорость изменения}}_{\text{заряда в объеме}} \underbrace{\text{сила тока через поверхность, ограничивающую объем.}}$

dS по внешней нормали.

Если положит заряд убывает в V , то плотность тока идет из объема.

② Электростатика. Закон Кулона. Его полевая трактовка. Вектор напряженности электрического поля. Напряженность эл. поля точечного заряда. Линии напряженности эл. поля. Принцип суперпозиции эл. полей.

• Электростатика - раздел электромагнетизма, в котором изучается взаимодействие неподвижных зарядов.

Закон взаимодействия неподвижных заряженных тел был открыт в 1785 году Кулоном с помощью изобретения им крутельных весов.

Сила эл. взаимодействия уравновешивается силами циркулярной исти.

• Закон Кулона: Величина силы взаимодействия между двумя неподвижными точечными зарядами, находящимися в вакууме, пропорциональна зарядам и обратно пропорциональна квадрату расстояния между ними.

$$|\vec{F}| \sim \frac{|q_1||q_2|}{R^2}, \quad |\vec{F}| = k \frac{|q_1||q_2|}{R^2}$$

Сила взаимодействия между точечными зарядами направлена вдоль линии, соединяющей эти заряды, и по модулю равна. Одного знака заряды - отталкиваются, разного - притягиваются



Векторная форма записи закона Кулона:

$$\vec{F}_2 = \vec{F}_1 = k \frac{q_2 q_1}{R^2} \cdot \vec{R} = k \frac{q_2 q_1}{|\vec{r}_2 - \vec{r}_1|^2} \cdot \frac{\vec{r}_2 - \vec{r}_1}{|\vec{r}_2 - \vec{r}_1|}$$

$$\text{и } \vec{F}_1 = \vec{F}_{12} = k \frac{q_1 q_2}{|\vec{r}_1 - \vec{r}_2|^2} \cdot \frac{\vec{r}_1 - \vec{r}_2}{|\vec{r}_1 - \vec{r}_2|} = -k \frac{q_1 q_2}{R^2} \cdot \vec{R}$$

• Полевая трактовка закона Кулона

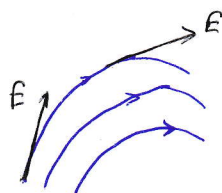
Заряд q создает в окружающем себе пространстве электрическое поле, которое характеризуется напряженностью E .

Величина, равная

• напряженностью эл. поля в точке называется отношением силы, с которой поле действует на положительный заряд, помещенный в данную точку поля, к заряду: $\vec{E} = \frac{\vec{F}_q}{q_{\text{пр}}}$ (противоположный заряд $q_{\text{пр}}$)

$$\vec{E}_q = \frac{\vec{F}_q q_{\text{пр}}}{q_{\text{пр}}} = \frac{1}{q_{\text{пр}}} \cdot \frac{q q_{\text{пр}}}{4\pi\epsilon_0} \cdot \frac{\vec{R}}{R^3} = \frac{q}{4\pi\epsilon_0 R^2} \cdot \frac{\vec{R}}{R^3}, \quad \text{а } |\vec{E}_q| = \frac{1}{4\pi\epsilon_0} \cdot \frac{|q|}{R^2} - \text{поле, создаваемое точечным зарядом } q \text{ от расст. } R.$$

Линии напряженности электрического поля: это линии, касательные к которым в каждой точке совпадают с направлением вектора напряженности в этой точке.



Принцип суперпозиции:

- сила взаимодействия двух точечных зарядов (а значит и поле, создаваемое ими) не изменяется в присутствии других зарядов.
- сила, действующая на точечный заряд со стороны двух точечных зарядов, равна сумме сил, действующих на него со стороны каждого из точечных зарядов при отсутствии другого.

$$\vec{E}(\vec{r}) = \sum_i \vec{E}_i(\vec{r})$$

$$\sigma = \lim_{\Delta S \rightarrow 0} \frac{\Delta q}{\Delta S}$$

- пов.плотность эл.заряда.

$$\gamma = \lim_{\Delta l \rightarrow 0} \frac{\Delta q}{\Delta l}$$

- лин.плотность эл.заряда.

напряженность эл.поля, созданная непрерывным распределением зарядов.

$$\vec{r} = \vec{r} - \vec{r}^1, \Delta q = g(\vec{r}^1) \Delta V^1$$

$$\Rightarrow \Delta \vec{E}_{\Delta q} = \frac{1}{4\pi\epsilon_0} \cdot \frac{\Delta q \cdot \vec{R}}{R^3} = \frac{g(\vec{r}^1) \Delta V^1 (\vec{r} - \vec{r}^1)}{4\pi\epsilon_0 \cdot |\vec{r} - \vec{r}^1|^3}$$

$$\vec{E}(\vec{r}) = \sum_{\Delta q} \vec{E}_{\Delta q} = \sum_{\Delta V^1} \frac{g(\vec{r}^1) (\vec{r} - \vec{r}^1)}{4\pi\epsilon_0 \cdot |\vec{r} - \vec{r}^1|^3} \cdot \Delta V^1 \text{ при } \Delta V^1 \rightarrow 0$$

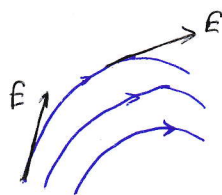
$$\vec{E}(\vec{r}) = \frac{1}{4\pi\epsilon_0} \cdot \int_V \frac{(\vec{r} - \vec{r}^1)}{|\vec{r} - \vec{r}^1|^3} \cdot g(\vec{r}^1) dV^1$$

В случае распределения зарядов на поверхности S или участке линии для напряженности эл.поля имеем:

$$\vec{E}(\vec{r}) = \frac{1}{4\pi\epsilon_0} \int_S \frac{(\vec{r} - \vec{r}^1)}{|\vec{r} - \vec{r}^1|^3} \cdot g(\vec{r}^1) dS^1$$

$$\vec{E}(\vec{r}) = \frac{1}{4\pi\epsilon_0} \cdot \int_L \frac{(\vec{r} - \vec{r}^1)}{|\vec{r} - \vec{r}^1|^3} \cdot f(\vec{r}^1) dl^1$$

Линии напряженности электрического поля: это линии, касательные к которым в каждой точке совпадают с направлением вектора напряженности в этой точке.



Принцип суперпозиции:

- сила взаимодействия двух точечных зарядов (а значит и поле, создаваемое ими) не изменяется в присутствии других зарядов.
- сила, действующая на точечный заряд со стороны двух точечных зарядов, равна сумме сил, действующих на него со стороны каждого из точечных зарядов при отсутствии другого.

$$\vec{E}(\vec{r}) = \sum_i \vec{E}_i(\vec{r})$$

$$\sigma = \lim_{\Delta S \rightarrow 0} \frac{\Delta q}{\Delta S}$$

- пов.плотность эл.заряда.

$$\gamma = \lim_{\Delta l \rightarrow 0} \frac{\Delta q}{\Delta l}$$

- лин.плотность эл.заряда.

напряженность эл.поля, созданная непрерывным распределением зарядов.

$$\vec{r} = \vec{r} - \vec{r}^1, \quad \Delta q = g(\vec{r}^1) \Delta V^1$$

$$\Rightarrow \Delta \vec{E}_{\Delta q} = \frac{1}{4\pi\epsilon_0} \cdot \frac{\Delta q \cdot \vec{R}}{R^3} = \frac{g(\vec{r}^1) \Delta V^1 (\vec{r} - \vec{r}^1)}{4\pi\epsilon_0 \cdot |\vec{r} - \vec{r}^1|^3}$$

$$\vec{E}(\vec{r}) = \sum_{\Delta q} \vec{E}_{\Delta q} = \sum_{\Delta V^1} \frac{g(\vec{r}^1) (\vec{r} - \vec{r}^1)}{4\pi\epsilon_0 \cdot |\vec{r} - \vec{r}^1|^3} \cdot \Delta V^1 \text{ при } \Delta V^1 \rightarrow 0$$

$$\vec{E}(\vec{r}) = \frac{1}{4\pi\epsilon_0} \cdot \int_V \frac{(\vec{r} - \vec{r}^1)}{|\vec{r} - \vec{r}^1|^3} \cdot g(\vec{r}^1) dV^1$$

В случае распределения зарядов на поверхности S или участке линии для напряженности эл.поля имеем:

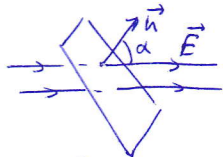
$$\vec{E}(\vec{r}) = \frac{1}{4\pi\epsilon_0} \int_S \frac{(\vec{r} - \vec{r}^1)}{|\vec{r} - \vec{r}^1|^3} \cdot g(\vec{r}^1) dS^1$$

$$\vec{E}(\vec{r}) = \frac{1}{4\pi\epsilon_0} \cdot \int_L \frac{(\vec{r} - \vec{r}^1)}{|\vec{r} - \vec{r}^1|^3} \cdot f(\vec{r}^1) dl^1$$

③ Поток вектора напряженности электрического поля. Теорема Остроградского-Гaussa, её представление в дифференциальной форме. Пример решения задач электростатики с помощью теоремы Остроградского-Гaussa.

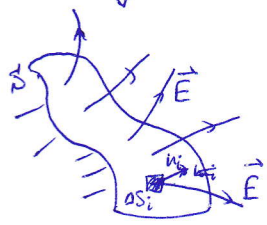
$$\Phi = \oint_S \vec{A} d\vec{S} - \text{поток векторного поля } A \text{ через поверхность } S$$

$$\Phi = \oint_S \vec{A} d\vec{S} = \oint_S (\vec{A} \cdot \vec{n}) dS, \text{ где } \vec{n} - \text{вектор нормали к поверхности } S$$



$$\Phi = E \cdot S \cos \alpha = E_n S$$

$\Phi_n N$ - количество линий E

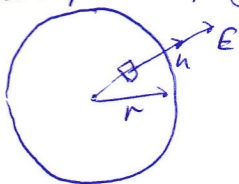


$$d\Phi_i = |\vec{E}_i| |dS_i| \cos \alpha_i = \vec{E}_i \cdot \underbrace{dS_i}_{\vec{dS}_i}$$

$$\Phi_S = \sum_i d\Phi_i = \sum_i \vec{E}_i \cdot \vec{dS}_i$$

При $i \rightarrow \infty$, $\Phi_S = \oint_S \vec{E} d\vec{S}$

Поток вектора напряженности электростатического поля через сферическую поверхность, внутри которой расположена точечный заряд q .

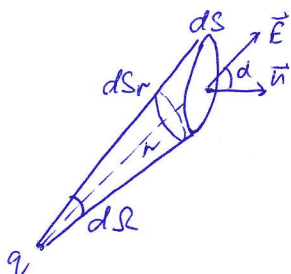


$$\Phi = \oint_S \vec{E} d\vec{S} = \sum_i \vec{E} \cdot d\vec{S}_i = \frac{1}{4\pi\epsilon_0} \cdot \frac{q}{r^2} \cdot 4\pi r^2 = \frac{q}{\epsilon_0}$$

Электростатическая теорема Остроградского-Gaussa:

$$\oint_S \vec{E} d\vec{S} = \frac{Q_V}{\epsilon_0}$$

Доказательство:

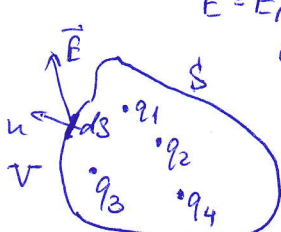
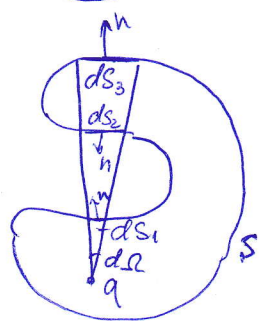


$$d\Phi = \vec{E} d\vec{S} \cos \alpha$$

$$\vec{E} d\vec{S}_r = \frac{q}{4\pi\epsilon_0} \frac{dS_r}{r^2} = \frac{q}{4\pi\epsilon_0} \cdot d\Omega$$

$$\oint d\Phi = \frac{q}{4\pi\epsilon_0} \cdot 4\pi = \frac{q}{\epsilon_0}$$

последовательно изображено в разрезе.



$\vec{E} = \vec{E}_1 + \vec{E}_2 + \vec{E}_3 + \vec{E}_4 + \dots$. Согласно принципу суперпозиции:

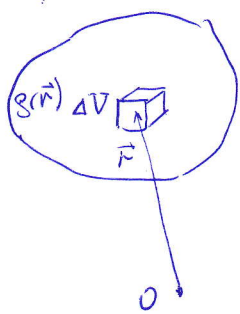
$$\oint \vec{E} d\vec{S} = \oint (\vec{E}_1 + \vec{E}_2 + \vec{E}_3 + \dots) d\vec{S} =$$

$$= \frac{q_1 + q_2 + q_3 + \dots}{\epsilon_0} = \frac{Q_V}{\epsilon_0}$$

Для непрерывного распределения зарядов:

$$\oint \vec{E} d\vec{s} = \frac{Q_V}{\epsilon_0} = \int \frac{g dV}{\epsilon_0}$$

Дифференциальная форма электростатического теорема Гаусса



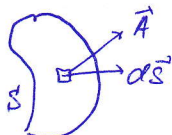
$$\oint \vec{E} d\vec{s} = \frac{g dV}{\epsilon_0} \quad \lim_{dV \rightarrow 0} \frac{\oint \vec{E} d\vec{s}}{dV} = \frac{g}{\epsilon_0} \Rightarrow \operatorname{div} \vec{E} = \frac{g}{\epsilon_0}$$

В декартовой СК:

$$\operatorname{div} \vec{E} = \frac{\partial E_x}{\partial x} + \frac{\partial E_y}{\partial y} + \frac{\partial E_z}{\partial z}$$

$\operatorname{div} \vec{E}$ - характеризует мощность источников.

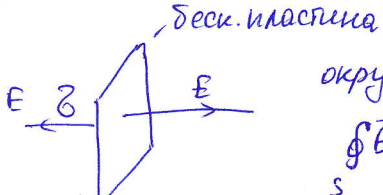
$$\oint \vec{A} d\vec{s} = \int_V \operatorname{div} \vec{A} dV$$



$$\Rightarrow \oint \vec{E} d\vec{s} = \int_V \operatorname{div} \vec{E} dV = \frac{g dV}{\epsilon_0} \Rightarrow \operatorname{div} \vec{E} = \frac{g}{\epsilon_0}$$

Решение задач с помощью П.О.Г.

①



окружене поверхностью со слоями II ислегне

$$\oint \vec{E} d\vec{s} = \frac{Q}{\epsilon_0} \quad \oint \vec{E} d\vec{s} = E \cdot 2S \quad (\text{где } S - \text{кусок пластинь, ограниченный поверхностью})$$

$$\text{с другой стороны } \frac{Q}{\epsilon_0} = \frac{2S}{\epsilon_0} \Rightarrow E = \frac{Q}{2\epsilon_0}$$

② сфера с зарядом q:

$$\begin{aligned} & \bullet \text{внутри сферы } (r < R) \quad Q=0 \Rightarrow E=0. \\ & \bullet \text{наружу: } \frac{q}{\epsilon_0} = E \cdot 4\pi r^2 \Rightarrow E(r) = \frac{q}{4\pi \epsilon_0 r^2} \end{aligned}$$

③ шар с плотностью $g(r) = ar$

$$\bullet \text{внутри шара } (r < R) \quad E \cdot 4\pi r^2 = \int_V \frac{ar}{\epsilon_0} dV \quad , a dV = V(r+dr) - V(r) = 4\pi r^2 dr$$

$$E \cdot 4\pi r^2 = \frac{ar \cdot 4\pi r^2 dr / 0}{\epsilon_0}$$

$$E \cdot 4\pi r^2 = \frac{ar^4 \pi}{\epsilon_0} \Rightarrow E = \frac{ar^2}{4\epsilon_0}$$

$$\bullet \text{наружу} \quad E \cdot 4\pi r^2 = \frac{aR^4 \pi}{\epsilon_0} \Rightarrow E = \frac{aR^4}{4\epsilon_0 r^2}$$

⑦ Работа силы электростатического поля. Потенциалность электростатического поля. Потенциал электрического поля тогого заряда и его нормировка. Связь потенциала с вектором напряженности электрического поля. Эквилюминентные поверхности.

Работа в электрическом поле:

т.к. сила, действующая в эл.поле на тогий заряд q , равна $\vec{F} = q\vec{E}$, то при перемещении заряда на $d\ell$ совершается работа: $dA = \vec{F}d\ell = q\vec{E}d\ell$.

Удельная работа при перемещении заряда определяется как отношение работы к заряду: $dA' = dA/q = E \cdot d\ell \Rightarrow A > 0$ - совершаемая полем, а величинами относительно поля считаю - отрицательной.

Потенциалность электростатического поля:

Поле потенциально, если работа, соверши. этим полем, по замкнутому контуру равна 0.

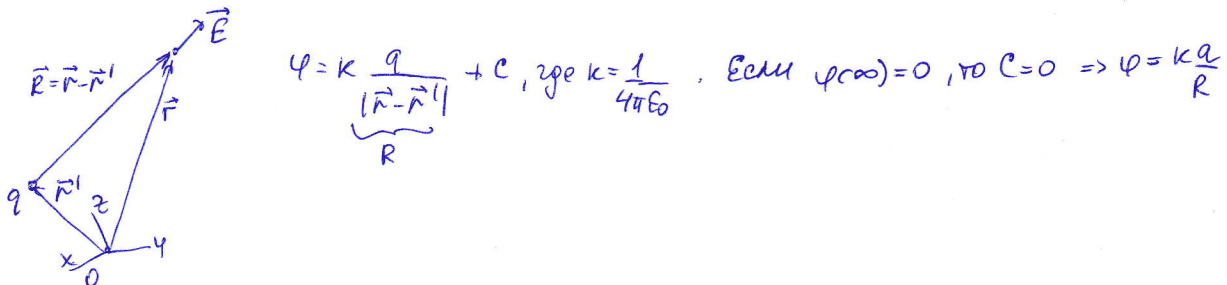
$$\vec{E} = -\nabla\varphi, \text{ где } \varphi = \varphi(x, y, z) - \text{потенциал}$$

Потенциал определен с точностью до констант, т.е. $\varphi' = \varphi + C$ тоже потенциал.

Для однозначности его нормируют, задавая ему определенное значение в некотором точке пространства. Обычно выбирают нулевое значение потенциала на бесконечности или на поверхности Земли.

Потенциал электрического поля тогого заряда.

$$\vec{E} = K \frac{q}{R^2} \cdot \frac{\vec{R}}{R} = K \frac{q}{|\vec{r}-\vec{r}'|^2} \cdot \frac{\vec{r}-\vec{r}'}{|\vec{r}-\vec{r}'|} = -\nabla_{\vec{r}} \left(K \frac{q}{|\vec{r}-\vec{r}'|} + C \right)$$



Потенциал поля системы зарядов

$$\vec{E}(\vec{r}) = \sum_i \vec{E}_i(\vec{r}) = -\sum_i \nabla \varphi_i(\vec{r}) = -\nabla \left(\sum_i \varphi_i(\vec{r}) \right)$$

$$\varphi(\vec{r}) = \sum_i \varphi_i(\vec{r}) = \sum_i \frac{1}{4\pi\epsilon_0} \cdot \frac{q_i}{|\vec{r}-\vec{r}_i|}$$

В случае непрерывного распред. зарядов $q_i = g(\vec{r}_i) 4\pi r_i^2$

$$\varphi(\vec{r}) = \sum_i \frac{1}{4\pi\epsilon_0} \frac{g(\vec{r}_i) 4\pi r_i^2}{|\vec{r}-\vec{r}_i|} = \int_V \frac{1}{4\pi\epsilon_0} \frac{g(\vec{r}')}{|\vec{r}-\vec{r}'|} dV' = \int_V \frac{1}{4\pi\epsilon_0} \cdot \frac{g(\vec{r}')}{|\vec{r}-\vec{r}'|} dV'$$

Работа силы электростатического поля

$$A_{12} = \int_1^2 q \vec{E} d\vec{r} = -q \int_1^2 \nabla \varphi d\vec{r}, \text{ а } \nabla \varphi d\vec{r} = \frac{\partial \varphi}{\partial x} dx + \frac{\partial \varphi}{\partial y} dy + \frac{\partial \varphi}{\partial z} dz = d\varphi(x, y, z)$$

$$A_{12} = -q \int_1^2 \nabla \varphi d\vec{r} = -q \int_1^2 d\varphi = \underbrace{q\varphi_1}_{\pi_1} - \underbrace{q\varphi_2}_{\pi_2}$$

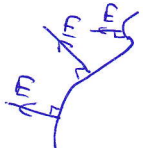
$\Pi = q\varphi$ - потенциальная энергия заряда в поле \vec{E} .

$$\varphi = \frac{\Pi}{q} = \frac{\Phi_{\text{эл}}}{k_e} = B, \quad \vec{E} = -\nabla\varphi \Rightarrow [E] = \frac{B}{N}$$

На основании принципа суперпозиции из потенциальности поля точечного заряда следует потенциальность произвольного электростатического поля:

$$\oint \vec{E} d\vec{l} = \oint_i (\sum E_i) d\vec{l} = \sum_i \oint E_i d\vec{l} = \sum_i 0 = 0, \text{ где } E = \sum_i E_i, \oint E_i d\vec{l} = 0.$$

Эквипотенциальные поверхности:

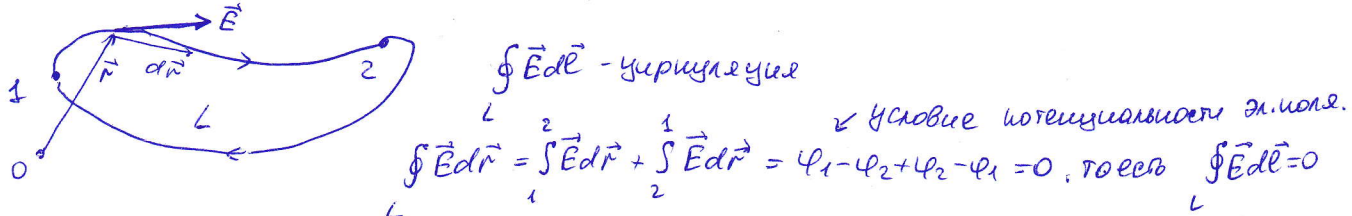


• это поверхности, на которых скалярный потенциал данного потенциального поля принимает постоянное значение (поверхность уровня потенциала)

• (другое опр.) поверхности, в которых токи ортогональные склонам линий поля.

⑤ Чиркуляция вектора напряженности электростатического поля. Теорема о чиркуляции, ее представление в ф дифференциальной форме. Уравнение Пуассона и Париаса.

Чиркуляция вектора напряженности электростатического поля



Формула Стокса. Теорема о чиркуляции.

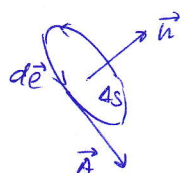
$$\oint \vec{E} d\vec{l} = \int_S \text{rot} \vec{E} d\vec{s} \quad (\text{вынуждение внешней нормали к поверхности})$$

$\oint \vec{E} d\vec{l} = 0 \Rightarrow \text{rot} \vec{E} = 0$ также это условие эквипотенциальной поверхности, на ней не должна чиркулировать напряженность эл. поля.

Ротор векторной функции

$$\lim_{\Delta S \rightarrow 0} \frac{\oint \vec{A} d\vec{l}}{\Delta S} = (\text{rot} \vec{A} \cdot \vec{n})$$

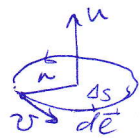
$$\text{rot} \vec{A} = [\vec{O} \cdot \vec{A}] = \begin{vmatrix} i & j & k \\ \frac{\partial}{\partial x} & \frac{\partial}{\partial y} & \frac{\partial}{\partial z} \\ A_x & A_y & A_z \end{vmatrix}$$



Физическая аналогия с вращением:

Тело вращ. по окружности радиуса r , со скоростью ω .
 $dS = \pi r^2$, $\delta = \omega r$

$$\lim_{dS \rightarrow 0} \frac{\oint \delta d\vec{e}}{dS} = \lim_{r \rightarrow 0} \frac{\omega r \oint d\vec{e}}{\pi r^2} = \lim_{r \rightarrow 0} \frac{\omega r \cdot 2\pi r}{\pi r^2} =$$



$= 2\omega = \text{rot}_n \vec{\omega}$ \Rightarrow вектор линейной скорости точки вращающегося абсолютно твердого тела равен удвоенной угловой скорости её вращения.

Система полевых уравнений электростатики в вакууме в интегральной и дифференциальной форме.

$$\int_S \vec{E} d\vec{S} = \frac{\int_S g dV}{\epsilon_0} \quad \text{div } \vec{E} = \frac{g}{\epsilon_0} ; \quad \oint_L \vec{E} d\vec{l} = 0 \quad , \text{rot } \vec{E} = 0.$$

Другое $\text{rot } \vec{E} = 0$ - дифференциальная формулировка потенциальности электростатического поля.

Уравнение Пуассона и Лапласа

Если $\vec{E} = -\nabla \varphi$, то выполнено $\text{rot } \vec{E} = 0$. Тогда $\frac{g}{\epsilon_0} = \text{div } \vec{E} = -\text{div } \nabla \varphi = -\Delta \varphi$, где $\Delta \varphi = \frac{\partial^2 \varphi}{\partial x^2} + \frac{\partial^2 \varphi}{\partial y^2} + \frac{\partial^2 \varphi}{\partial z^2}$.

Уравнение Пуассона: $\Delta \varphi = -\frac{g}{\epsilon_0}$ и Уравнение Лапласа: $\Delta \varphi = 0$, если в области $g = 0$

По нему удобно находить потенциал и напряженность.

Уравнение Пуассона не предполагает определенного нормирования потенциала и отсутствия зарядов на бесконечности, в отличие от уравнений $\varphi = \frac{1}{4\pi\epsilon_0} \int_S \frac{g dV}{r}$ и $\varphi = \frac{1}{4\pi\epsilon_0} \int_S \frac{g dS}{r}$ требующих нормирования $\varphi(\infty) = 0$.

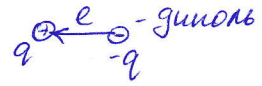
Теорема Максвелла:

не \exists такой конфигурации неподвижных зарядов, которая была бы устойчивой, если нет других сил, кроме сил кулоновского взаимодействия между зарядами системы.

Доказательство: Травиовесие устойчиво. Тогда при смещении A из зарядов системы из его положения в B на него должна действовать \vec{F} , стремящаяся вернуть заряд на первоначальное место. \Rightarrow Это значит, что в поле, созданном A вблизи нашего из подвижных зарядов всеми другими зарядами, направлена радиусом, исходящим из точки наход. этого заряда. $\vec{F} \neq 0$, где S -пов. вокруг нашего ~~внешней~~ симметрии заряда, т.к. E направлена в один и тот же направление. По теореме Гаусса итоги создан зарядом в объеме, ограниченном S . Это противоречит исходному предположению о том, что он создается зарядами вне объема. Система конфигурации неподвижных зарядов неустойчива.

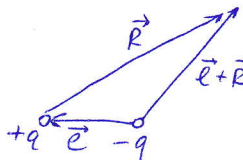
⑥ Электрический диполь. Потенциал и напряженность поля токсного диполя.

Электрический диполь - идеализированная электронейтральная система, состоящая из токсных и равных по абсолютной величине положительного и отрицательного электрических зарядов



$$\text{Дипольный момент } \vec{p} = q\vec{l}$$

Потенциал диполя.



$$\varphi(\vec{R}) = \frac{1}{4\pi\epsilon_0} \left(\frac{q}{R} - \frac{q}{|R+\vec{l}|} \right), \text{ где } q > 0$$

$$\frac{1}{|R+\vec{l}|} = \frac{1}{\sqrt{(R+\vec{l})^2}} = \frac{1}{\sqrt{R^2 + 2R\vec{l} + \vec{l}^2}} = \frac{1}{R\sqrt{1 + 2\frac{\vec{l}\cdot\vec{l}}{R^2} + \frac{\vec{l}^2}{R^2}}} \approx \frac{1}{R} - \frac{\vec{l}\cdot\vec{l}}{R^3},$$

$$\Rightarrow \varphi(\vec{R}) = \frac{1}{4\pi\epsilon_0} \cdot \frac{\vec{p}\cdot\vec{R}}{R^3}, \text{ где } \vec{p} = q\vec{l}$$

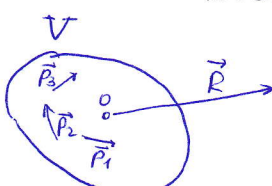
Поле диполя

$$\vec{E} = -\nabla\varphi, E_x = -\frac{\partial}{\partial x}\varphi = -\frac{\partial}{\partial x} \kappa \frac{\vec{p}\cdot\vec{R}}{R^3} = -\frac{\partial}{\partial x} \kappa \frac{p_x x + p_y y + p_z z}{(x^2 + y^2 + z^2)^{3/2}} = -\kappa (\vec{p}\cdot\vec{R}) \left(-\frac{3}{2}\right) \frac{x}{R^5} - \kappa \frac{p_x}{R^3} =$$

$$= \kappa \left(\frac{3(\vec{p}\cdot\vec{R}) \cdot x}{R^5} - \frac{p_x}{R^3} \right)$$

$$\Rightarrow \vec{E} = \frac{1}{4\pi\epsilon_0} \cdot \left(\frac{3(\vec{p}\cdot\vec{R})\vec{R}}{R^5} - \frac{\vec{p}}{R^3} \right)$$

Потенциал и поле систем диполей



$$\text{Если } d \sim \sqrt[3]{V} \ll R, \text{ то } \varphi_d = \sum_{i=1}^N \varphi_d^i = \sum_{i=1}^N \kappa \frac{\vec{p}_i \cdot \vec{R}}{R^3} = \kappa \frac{(\sum_i \vec{p}_i) \cdot \vec{R}}{R^3} = \kappa \frac{\vec{P} \cdot \vec{R}}{R^3}, \text{ где } \vec{P} = \sum_i \vec{p}_i$$

$$\vec{E} = \frac{1}{4\pi\epsilon_0} \left(\frac{3(\vec{P}\cdot\vec{R})\vec{R}}{R^5} - \frac{\vec{P}}{R^3} \right)$$

- ⑦ Проводники в электростатическом поле. Электростатическая индукция. Напряженность поля у поверхности и внутри проводника. Распределение заряда по поверхности проводника. Электростатическая защита. Метод зеркальных изображений. Проводящий шар в однородном электрическом поле.

Проводники - материальные тела, в которых при наличии электрического поля возникает движение зарядов, т.е. электрический ток.

$R = \frac{1}{\gamma} \frac{\Delta \varphi}{AS}$, где $\Delta \varphi$ -разница потенциалов малого элемента проводника; AS -поперечное сечение проводника. $\Delta \varphi$ -разность потенциалов между концами проводника.

$I_t = j_t AS$, индекс t означает, что берется составляющая плотности тока вдоль проводника, j -удельная проводимость вещества.

$$\Delta \varphi = j_t \sigma S \cdot \frac{1}{\gamma} \frac{\Delta \varphi}{AS}, \text{ а } \frac{\Delta \varphi}{AS} = E_t \Rightarrow E_t = \frac{j_t}{\gamma} = \gamma \sigma$$

Это соотношение справедливо при внешнем проводнике, потому: $\vec{j} = \gamma \vec{E}$ - дифференциальный закон Ома.

Проводники характеризуются удельной электрической проводимостью (γ) большей, чем 10^3 Гн/Ам . В основном - это металлы. Улучшенных проводников $\gamma \approx 10^7 \text{ м/Ом}$.

Отсутствие электрического поля внутри проводника.

В электростатике рассматривается случай неподвижных зарядов, когда $j=0$. Из равенства $\vec{j} = \gamma \vec{E}$ получим: $E=0$, т.е. внутри проводника при электростатическом равновесии электрическое поле отсутствует.

Объемные заряды внутри проводника отсутствуют. Это следует из уравнения $\operatorname{div} E = \rho / \epsilon_0$. При $E=0$ следует, что $\rho=0$.

Это означает, что заряд проводника концентрируется на его поверхности в слое атомарной толщины. Конечно, внутри проводника имеются как положительные, так и отрицательные заряды, но они взаимно компенсируются и в целом внутренние области проводника нейтральны.

Уравнение закона сохранения заряда в дифференциальной форме:
 $\frac{\partial \rho}{\partial t} + \operatorname{div} j = 0$. Такое оно называется уравнением непрерывности.

Предположим, что в некотором объеме проводника возник объемный заряд в момент времени $t=0$ ($\rho(0) \neq 0$). Уравнение непрерывности:

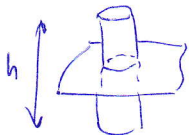
$$\frac{\partial \rho}{\partial t} + \operatorname{div}(\gamma E) = \frac{\partial \rho}{\partial t} + \gamma \operatorname{div} E = 0, \text{ где } \gamma = \text{const} \text{ (для однородного проводника).}$$

$$\Rightarrow \frac{\partial \rho}{\partial t} = -\frac{\gamma}{\epsilon_0} E \Rightarrow \rho(t) = \rho_0(0) e^{-\frac{\gamma}{\epsilon_0} t}, \text{ т.е. уменьшается экспоненциально.}$$

По правилу можно считать, что заряд рассосался через $t = \epsilon_0 / \gamma$ - время релаксации.

Электрическая индукция (электростатическая) - явление перераспределения зарядов поверхности зарядов на проводнике при его помещении во внешнее (стационарное) электрическое поле.

Роль близи поверхности проводника.



Возьмем площадку δS на пов. проводника. Рассмотрим цилиндр высотой h , пересекающий поверхность.

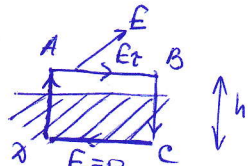
$$\int_S E dS = Q/\epsilon_0.$$

Внутри проводника $E=0$. Заряд имеется только на поверхности: $Q=\delta S$. \Rightarrow Поток через нижнюю часть поверхности цилиндра равен 0. \Rightarrow общий поток = поток через краину + поток через дно цилиндра проводника. При $h \rightarrow 0$ $\int_S E dS = E_n \Delta S$, где E_n -нормальная компонента E у поверхности проводника однозначно определяется поверхностью зарядов.

$E_t = 0$, что же получится для ветвистого проводника.

при $h \rightarrow 0$ Аработка поле $= A_{AA} + \cancel{A_{AB}} + A_{BC} + A_{CD} = 0 + A_{AB} + 0 + 0$, т.к. у двух граний $h \rightarrow 0$, и не имеет $E=0$.

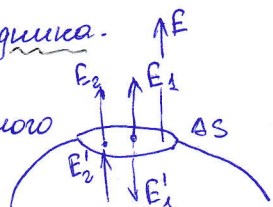
\Rightarrow поле у поверхности $E = \delta S / \epsilon_0$ и \perp поверхности.



Механизм образования поля близи поверхности проводника.

Рассмотрим площадку δS .

Направленность поля E создается напр. E_1 поле, создаваемого зарядами площадки δS и E_2 зарядами не входящими в эту площадку. Т.к. обе стороны площадки δS эквивалентны, то поле идет в обе стороны: $|E_1| = |E_2|$.

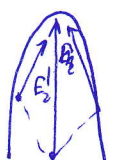
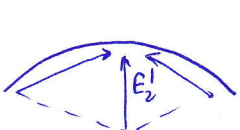


Роль E_2 создается всеми зарядами, которые наход. вне площадки δS . Поскольку это поле есть эл. поле в пространстве вне зарядов, которое его создает, то из условий непрерывности: $E_2 = E'_2$.

Т.к. $E=0$ внутри, то $\vec{E}_2 + \vec{E}_1 = 0$ $|E'_2| \neq |E_1|$, а внешнее поле $E = E_1 + E_2$. $E_1 = E'_2 = E/2$.

т.е. направление поля близи поверхности проводника созд. двумя равными полями: от прилегающего элемента поверхности, и от всех остальных зарядов.

Распределение поверхности плохости зарядов от радиуса кривизны:



Во втором случае $E'_2 >$ зарядами в первом, а $E'_2 = E/2$

\Rightarrow у первого поверхности плохости зарядов

$G_2 = 2E'_2\epsilon_0$ во втором случае больше. \Rightarrow

($R_1 = R_2$) G_1 больше кривизна поверхности \Rightarrow тем больше меньшая на неё плохость зарядов. $\delta \uparrow$ при $R_{kp} \downarrow$. (На вогнутой внутрь поверхности проводника δ уменьшается)

Электростатическое замыкание: - помещение приборов, чувствительных к электрическому полю, внутри замкнутой проводящей оболочки для экранирования от внешнего эл. поля.

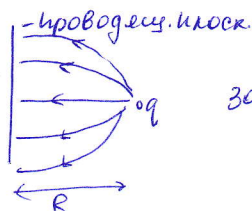
Это явление связано с тем, что на поверхности проводника (заряжен или незаряжен), заряды под действием внешнего поля перераспределяются так, что создаваемое ими внутри проводника поле полностью компенсирует внешнее. (явление электростат. индукции)

Метод зеркальных изображений:

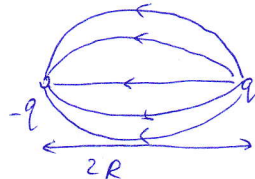
Поле точечного заряда хорошо известно. Стремится подобрать такую систему точечных зарядов, суммарное поле которых удовл. всем условиям задачи.

Из теоремы об единственности решения, заключаем, что это поле дает искомое решение.

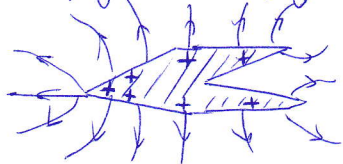
Например:



замещение



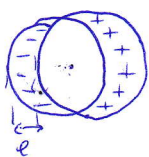
Распределение заряда по поверхности проводника:



Проводящий шар в однородном поле

Рассмотрим проводящий шар как 2 находящихся друг на друга шара с \neq противоположными q .

Сдвиги их губ. чув.



E -направленность поля во внутренних точках шаров.

$$E = E_+ + E_-$$

напр. от иониз. и отриц. заряд. шаров

$E(M) = (181/3\epsilon_0) r_+ - (181/3\epsilon_0) r_- = 181/\epsilon_0 (r_+ - r_-)$, где r_+ и r_- радиус внешний до точки от центров шаров (определенны E_+ и E_- методом Тайсса для отдельного заряда шара).

$E(r) = \frac{181}{3\epsilon_0} \cdot \frac{r}{r_+ r_-} (r_+ = r_- + l) \Rightarrow$ напр. направлена в шарах вдоль линии, соединяющей их центры.

Если $l \ll r$, то заряды можно считать поверхностью. (E_0 -внешнее однородное поле)

$$8\pi S \delta = 8\pi S \Rightarrow \delta = \rho \delta = \rho \cos \theta = 3\epsilon_0 E_0 \cos \theta$$

$E_n = \delta / \epsilon_0 = 3\epsilon_0 \cos \theta$ - поле у поверхности шара.

Поле вне шара - это поле диполя с единичным моментом $\vec{p} = \vec{q} \vec{l} = \frac{4}{3}\pi R^3 \rho \vec{l} = \frac{4}{3}\pi R^3 3\epsilon_0 \vec{E}_0$

$$\vec{E} = k \left(\frac{3(\vec{p} \cdot \vec{r}) \vec{r}}{r^5} - \frac{\vec{p}}{r^3} \right) + \vec{E}_0 = \cancel{\left(\frac{1}{2} \left(\frac{1}{r^2} \right)^2 \vec{E}_0 \right)} \cancel{\left(\frac{1}{r^2} \right)^2} \cancel{\left(\frac{1}{r^2} \right)^2}$$

⑥ Связь между зарядом и потенциалом проводника. Электрическое поле плоского, сферического и цилиндрического конденсаторов. Сочинение конденсаторов. Единство потенциала.

К спору: Что же доказано:

$$\varphi(P) = \frac{q}{4\pi\epsilon_0} \left(\frac{1}{r(+)} - \frac{1}{r(-)} \right) = \frac{q}{4\pi\epsilon_0} \left(\frac{r(-) - r(+)}{r(-)r(+)} \right)$$

~~r(+)~~ $r(+), r(-) \approx r^2$ $r(-) - r(+) = l \cos \theta$

$$\text{а } \varphi(\vec{r}) = \frac{1}{4\pi\epsilon_0} \cdot \frac{\vec{p} \cdot \vec{r}}{r^3}$$

и $q l \cos \theta = (\vec{p} \cdot \vec{r}) / r$

$$\mathbf{E} = -\operatorname{grad} \varphi = \frac{1}{4\pi\epsilon_0} \cdot \left[\frac{3(\vec{p} \cdot \vec{r})}{r^5} \vec{r} - \frac{\vec{p}}{r^3} \right]$$

Потенциал проводника - одинаковое во всех точках значение потенциала $\varphi(\vec{r}) = \frac{q}{4\pi\epsilon_0} \int_K \frac{\delta(r')}{|r-r'|} dS'$, $q = \int_S \delta(r') dS$

$$\varphi = \frac{q}{c}, \text{ где } c - \text{ единица (электроемкость)}$$

Единица проводника - отношение заряда Q единичного проводника к его потенциальному φ :

$$C = Q/\varphi \quad (\text{единица шара: } C = \frac{q}{\varphi} = \frac{q}{\frac{kq}{r}} = \frac{r}{k}, \text{ здесь } \frac{6.4 \cdot 10^6}{9.109} \approx 0.7 \cdot 10^{-3} \varphi)$$

Конденсатор - совокупность двух проводников одинак. потенциал., но противоположные по знаку заряды. Проводники - обкладки конденсатора.

$$\text{Единица конденсатора } C = \frac{q}{U} = \frac{q}{\varphi_1 - \varphi_2}$$

$$\textcircled{1} \text{ Плоский конденсатор: } C = \frac{q}{U} = \frac{\epsilon_0 S}{\frac{d}{2}} = \frac{\epsilon_0 S}{d}$$

$$\textcircled{2} \text{ Сферический конденсатор } C = \frac{q}{\varphi_1 - \varphi_2} = \frac{q}{\frac{1}{4\pi\epsilon_0} \left(\frac{q}{R_1} - \frac{q}{R_2} \right)} = \frac{4\pi\epsilon_0 \cdot R_1 R_2}{R_2 - R_1}$$

Цилиндрический конденсатор:

$$U = \frac{q}{2\pi\epsilon_0 l} \cdot \ln \frac{R_2}{R_1} \quad (\text{из теор. Тайса: } E \cdot 2\pi RL = \frac{q}{\epsilon_0}, \text{ где } l - \text{длина цилиндра})$$

$$C = \frac{q}{U} = \frac{2\pi\epsilon_0 l}{\ln \left(\frac{R_2}{R_1} \right)}$$

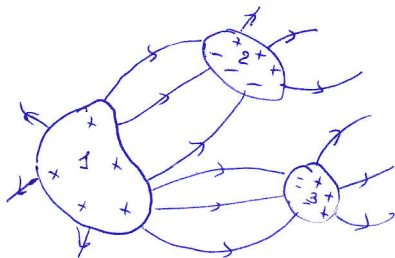
конденсаторы можно складывать исходя из параллельно:
при последовательном соед. складываются наряду конденсаторов $\Rightarrow \frac{1}{C} = \frac{1}{C_1} + \frac{1}{C_2} + \dots$
при параллельном заряде: $q = q_1 + q_2 + \dots$ $C = C_1 + C_2 + \dots$

Система проводников: Если имеется несколько проводников, то потенциал каждого из них зависит не только от заряда проводника, но и от напряженностей полей, создаваемых другими проводниками, или, другими словами, от зарядов других проводников, при этом по принципу суперпозиции он прямо пропорционален этому зарядам.

$$\varphi_i = \sum_j V_{ij} q_j, \text{ где } V_{ij} = V_{ij} - \text{потенциальное изображение}$$

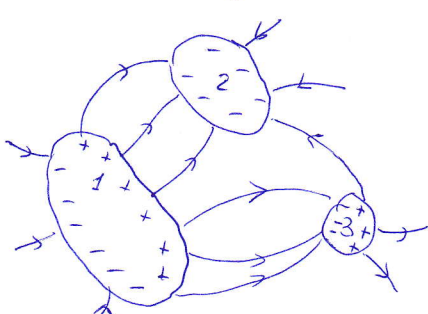
$$q_j = \sum_i C_{ij} \varphi_i, \text{ где } C_{ij} = C_{ij} - \text{коэффициент изображения}$$

$$V_{ij} > 0; V_{ii} > V_{ij}; C_{ii} > 0, C_{ij} < 0, \sum_j C_{ij} > 0$$



$$\varphi_1 \sim q_1, \varphi_2 \sim q_2, \varphi_3 \sim q_3$$

$$\varphi_i = \alpha_{i1} q_1$$



$$\varphi_2 \sim q_2, \varphi_1 \sim q_2, \varphi_3 \sim q_2$$

$$\varphi_i = \alpha_{i2} q_2$$

$$\varphi_i = \alpha_{i1} q_1 + \alpha_{i2} q_2 = \sum_j V_{ij} q_j$$

③ Дизелектрики. Свободные и связанные заряды. Связь между поляризацией со связанными зарядами.

Дизелектрики - вещества, в которых под действием электрического поля не возникает перемещение зарядов, как, например, в проводниках.

но в дизелектрике заряды немного сдвигаются.

Внешнее поле (электрическое) стремится сдвигать положительные заряды в направлении напряженности поля, а отрицательные - в противоположную. \Rightarrow в направл. $\vec{E}_{внеш}$ избыток $+$, а в противоположном $-$. Дизелектрик приобретает дипольный момент. Этот процесс называется поляризацией.

Степень поляризации дизелектрика характеризуется поляризованностью:

$$P = \frac{\Delta P}{\Delta V}, \text{ где } \Delta P - \text{дипольный момент элемента дизелектрика, } \Delta V - \text{его объем.}$$

Если вакуум при отсутствии внешнего эл. поля электронное облако расположено сферически симметрично относительно ядра, то ядро не обладает электрическим дипольным моментом.

Для неполярных молекул главный механизм поляризации:

во внешнем поле на положительные дипольные моменты молекул действуют моменты сил, стремящиеся ориентировать дипольные моменты в направлении напряженности поля. В результате молекулы переориентируются так, что бесконечные малые физические элементы объема диэлектрика приобретают дипольные моменты, т.е. диэлектрик поляризуется.

Поляризованность за счет переориентации значительно больше, чем вследствие образования дополнительных дипольных моментов, инициированных внешними полями.

Зависимость поляризованности от E .

① У диэлектров и сегнетоэлектриков P имеет форму $P = \chi E$ при $E = 0$.

② У остальных диэлектриков $P = 0$ при $E = 0$.

$$P_i = \epsilon_0 \sum_j \chi_{ij} E_j + \epsilon_0 \sum_{j,k} \chi_{ijk} E_j E_k \dots, \text{ где индексы } i, j, k \dots \text{ суммируют компоненты}$$

величин по оси декартовых СК ($i=x, y, z; j=x, y, z, \dots$) $\Rightarrow P$ зависит от E не только в первой степени. Если зависимость от высших степеней существует, то диэлектрик - нелинейный.

Если нелинейность не существует, то $P_i = \epsilon_0 \sum_j \chi_{ij} E_j$ - диэлектрик линейного. Собираются девять величин χ_{ij} - тензор диэлектрической восприимчивости

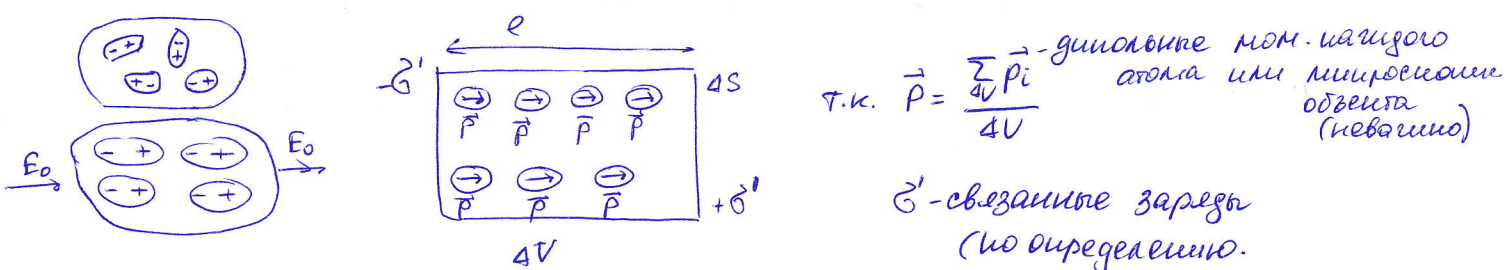
Для линейного изотропного (одинакового во все стороны) диэлектрика $P = \chi \epsilon_0 E$. χ -диэлектрическая восприимчивость.

дипольный момент

из формулы $dP = P dV = \chi \epsilon_0 E dV \rightarrow$ дип. момент направлен ~~по полю~~ \vec{E}
 \Rightarrow поле дипольного момента направлено в другую сторону от \vec{E} \Rightarrow отталкивает его.

Поляризация разделяет „+“ и „-“ \Rightarrow вблизи и на поверхности образуются заряды. Эти заряды называются поляризованными или связанными

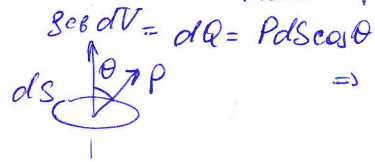
Свободные заряды - все электрические заряды, которые под влиянием \vec{E} могут перемещаться на микроскопическом расстоянии (и еще дополнительно, если относятся заряды, находящиеся на поверхности диэлектриков и нарушающих их нейтральность). В диэлектриках могут отсутствовать свободные заряды.



$$\sum_V \Delta \vec{P}_i = \vec{G}' \Delta S \cdot \vec{e} - \text{общий дипольный момент объема } \Delta V$$

по опред.: $\sum_V \Delta \vec{P}_i = \vec{P}_n V = \vec{G}' \Delta S \cdot \vec{e} \Rightarrow \vec{P}_n = \vec{G}'$ - нормальная составляющая \vec{G}' вектора поляризации равна пол.плотности связанных зарядов.

Рассмотрим схему обзелимую ионтою свободных зарядов.



$$\int_{\text{об}} \rho dV = dQ = \rho dS \cos \theta \Rightarrow \int_V \rho dV = - \int_S \rho \cos \theta dS \quad \text{где } \rho \cos \theta dS \text{ минус из-за того что } dV \text{ возникает заряд протекающий волникоиду через } dS$$

по теореме Остроградского - Гаусса:

$$\int_V (\rho_{\text{об}} + \text{div} P_n) dV = 0 \Rightarrow \rho_{\text{об}} = -\text{div} P_n \Rightarrow \text{обзелимые свободные заряды будут}$$

только в том случае, когда P меняется от точки к точке.

$$\text{Диаграмма двух диэлектриков: } \vec{E}' = \vec{E}_1' - \vec{E}_2' = P_{1n} - P_{2n} = -\vec{n}(\vec{P}_2 - \vec{P}_1)$$

- (10) Вектор электрической индукции в диэлектрике. Диэл. восприимчивость и диэл. проницаемость вещества. Материальное уравнение для векторов эл. поле. Диэл. заряд в однородном эл. поле. Рангор фортон.

При наличии внешнего электрического поля вещества радио становится источником электрического поля, в результате чего внешнее поле изменяется.

Электрическое смещение (электрическая индукция)

$$\text{div} E = \epsilon_0 \epsilon + \rho_{\text{об}} / \epsilon_0; \text{ подставив: } \rho_{\text{об}} = -\text{div} P, \text{ получим}$$

$$\epsilon_0 \cdot \text{div} E = \epsilon + \text{div} P$$

$$\text{div} (\epsilon_0 E + P) = \epsilon$$

$$\Rightarrow D = \epsilon_0 E + P \quad \text{- вектор смещения.}$$

т.е. $\text{div} D = \epsilon$: единственном источнике действуют свободные заряды, на которых этот вектор начинает изображаться.

Если $\epsilon = 0$, то вектор D - непрерывен, даже в точках, где есть $\rho_{\text{об}}$.

$$D = (\epsilon_0 + \chi \epsilon_0) E = \epsilon E, \epsilon = (1 + \chi) \quad \text{диэлектрическая проницаемость вещества относительная}$$

Материальное уравнение для векторов эл. поле.

$$\vec{P} = \vec{P}(E) \quad \text{или} \quad \vec{D} = \vec{D}(E)$$

(см. это число в начале вопроса)

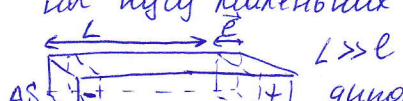
$$\text{разложение поля } P_i = \epsilon_0 \sum_j^3 X_{ij} E_j + \epsilon_0 \sum_k^3 X_{ijk} E_j E_k + \dots, \text{ где } X_{ij} - \text{тензор линейной восприимчивости. } X_{ijk} - \text{тензор нелинейной восприимчивости.}$$

Диэлектрический заряд.

Опять рассмотрим заряда $+$ и $-$ и сдвиги их.

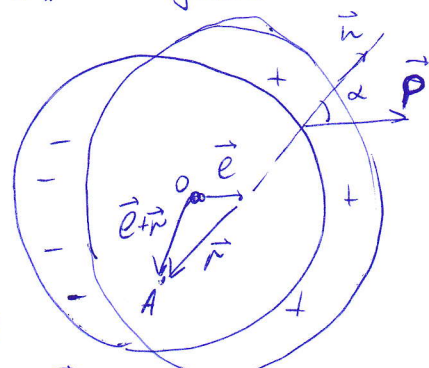


Разрежем систему на кучу маленьких параллелепипедов.



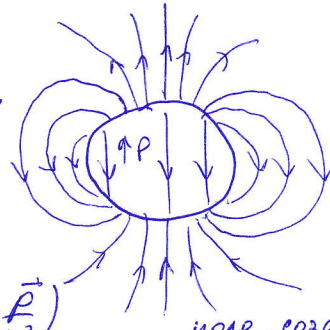
дипольный момент такого друска: $p = qL$, а $q = \sigma S \cdot \vec{l}$

$$\Rightarrow p = \sigma S L / \vec{l} = g \vec{l} / S L = g \vec{l} / \Delta V \Rightarrow \vec{P} = g \vec{l}$$



Поле внутри шара:

$$\underbrace{\vec{E}' = \frac{1}{3\epsilon_0} g\vec{r} - \frac{1}{3\epsilon_0} g(\vec{r} + \vec{P})}_{\text{из теоремы Остроградского}} = -\frac{1}{3\epsilon_0} g\vec{P} \quad \begin{array}{l} \text{при отсутствии} \\ \text{внешнего} \\ \text{направлено против} \end{array}$$



Поле вне шара совпадает с полем диполя:

$$\vec{P} = \text{Число } \vec{P} = \frac{4\pi R^3}{3} \text{ шара } g\vec{r} \approx, \text{ т.е. } \vec{E}' = \frac{1}{4\pi\epsilon_0} \left(\frac{3(R\vec{P})}{r^5} \vec{P} - \frac{\vec{P}}{r^3} \right)$$

поле, создаваемое диэлектриком.

Определим напряженность поля, если на шар действует внешнее \vec{E}_0

$$\vec{E}' = -\frac{1}{3\epsilon_0} \vec{P}, \text{ а } \vec{P} = \epsilon_0 \chi \underbrace{(\vec{E}_0 + \vec{E}')}_{\vec{E}} \Rightarrow \vec{P} = \epsilon_0 \chi (\vec{E}_0 - \frac{1}{3\epsilon_0} \vec{P}), \vec{P} = 3\epsilon_0 \cdot \frac{\chi}{3+\chi} \vec{E}_0 =$$

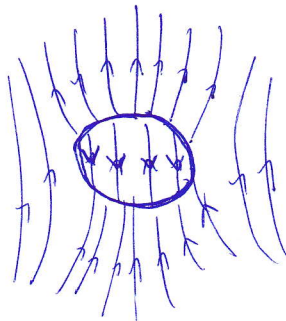
$$= 3\epsilon_0 \frac{\chi-1}{\chi+2} \vec{E}_0$$

$$\Rightarrow \vec{E}' = -\frac{\chi-1}{\chi+2} \vec{E}_0$$

$$\text{а вне шара } \vec{E} = \vec{E}' + \vec{E}_0$$

$$\vec{P} = \vec{P} \frac{4}{3}\pi R^3 = 4\pi\epsilon_0 R^3 \frac{\chi-1}{\chi+2} \vec{E}_0, \text{ где } R \text{- радиус шара.}$$

При $\epsilon \rightarrow \infty$ - проводящий шар



Полное поле E внутри и снаружи шара из диэлектрика

Равнотензорная форма

$$\vec{E} = \vec{E}_0 + \vec{E}' = \vec{E}_0 - \frac{N}{\epsilon_0} \vec{P}, \text{ где } N \text{ - равнотензор.}$$

$$\textcircled{1} \quad \text{для шара } N = \frac{1}{3} \quad \cancel{\vec{E}_0} \quad \xrightarrow{\vec{E}_0} \text{circle}$$

$$\textcircled{2} \quad \text{для бесконечной пластины: если } \vec{E}_0 \perp \text{носок пластины } N = 1 \quad \xrightarrow{\vec{E}_0} \parallel$$

$$\textcircled{3} \quad \text{если } \vec{E}_0 \parallel \text{носок пластины: } N = 0 \quad \xrightarrow{\vec{E}_0} \text{---}$$

7) Теорема Остроградского-Лаузея для диэлектриков в дифференциальной и интегральной форме. Треничные условия для векторов напряженности и электической индукции.

Теорема Остроградского-Лаузея для случая диэлектриков:

$$\operatorname{div} \vec{D} = \epsilon_0 \operatorname{div} \vec{E} + \operatorname{div} \vec{P} = g$$

$\frac{g+g'}{\epsilon_0} - g' \text{- связанные заряды}$

Дифференциальная форма: $\operatorname{div} \vec{D} = g$

$$\int_V \operatorname{div} \vec{D} dV = \int_V g dV = Q$$

весь заряд в объеме V

по теор. Остр.-Лаузея

$$\int_S \vec{D} dS = \int_V g dV = Q \quad \text{- интегральная форма.}$$

Важное соотношение $\vec{D} = \epsilon\epsilon_0 \vec{E}$ можно найти \vec{E} .

Система ионовых уравнений электростатики в бесконечной изотропной диэл. среде.

$$\begin{cases} \operatorname{div} \vec{D} = \rho \\ \operatorname{rot} \vec{E} = 0 \end{cases}$$

$$\begin{cases} \int_S \vec{D} d\vec{S} = \int_V \rho dV \\ \int_S \vec{E} d\vec{l} = 0 \end{cases}$$

$$\text{Для изотропной среды } \vec{D} = \epsilon_0 \epsilon \vec{E}, \text{ тогда } \begin{cases} \operatorname{div} \vec{E} = \frac{\rho}{\epsilon \epsilon_0} \\ \operatorname{rot} \vec{E} = 0 \end{cases} \quad \begin{cases} \int_S \vec{E} d\vec{S} = \frac{\int_V \rho dV}{\epsilon \epsilon_0} \\ \int_S \vec{E} d\vec{l} = 0 \end{cases}$$

В изотропной бесконечной диэлектрической среде \vec{E} , создавая свободные заряды, будет в ϵ раз меньше по сравнению с вакуумом.

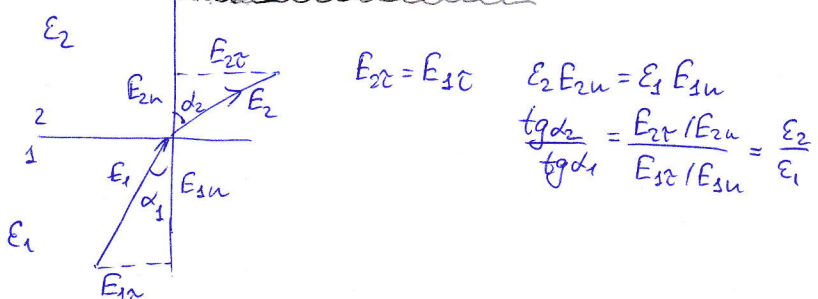
Границные условия - связь между величинами ионов на разных границах, разделяющих две области.

$$\begin{cases} D_{n2} - D_{n1} = 0, \text{ если одна среда проводник, т.е. } E = 0, \text{ т.о. } E_{n2} = 0 / \epsilon_0 \\ E_{t2} - E_{t1} = 0, \text{ т.к. поле потенциально} \end{cases}$$

$$\begin{array}{l} \text{среда 1} \quad \text{среда 2} \\ \text{среда 1} \quad \text{среда 2} \end{array} \quad \int_S E d\vec{l} = 0 \text{ (условие потенциальности)} \\ \text{взьмем } AB \text{ и } CD \text{ сколь угодно малы} \Rightarrow (E_{2t} - E_{1t})L = 0 \Rightarrow E_{2t} - E_{1t} = 0.$$

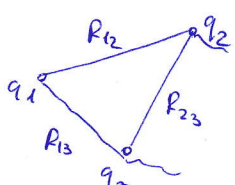
З-плотность свободных поверхностных зарядов на границе двух диэлектриков.

Преломление линий:



(12) Энергия системы эл. зарядов. Энергия электростатического поля и её обвязка ионами. Эн. взаимод. и собственная энергия. Энергия эл. диполя в вакууме ионе.

Энергия системы электрических зарядов.



Энергия = работа, совершенная при перетаскивании одного из зарядов к другому при расстоянии R из бесконечности

$$W_2 = q_2 \varphi_2 = k \frac{q_2 q_1}{R_{12}}; \quad W_3 = q_3 \varphi_3 = k \frac{q_3 q_1}{R_{13}} + k \frac{q_3 q_2}{R_{23}}$$

$$W = W_2 + W_3 = k \left(\frac{q_1 q_2}{R_{12}} + \frac{q_2 q_3}{R_{23}} + \frac{q_3 q_1}{R_{13}} \right)$$

$$W = k \sum_{i < j} \frac{q_i q_j}{R_{ij}} = \frac{1}{2} \sum_{i,j} \frac{q_i q_j}{R_{ij}} = \frac{1}{2} \sum_i q_i \varphi_i, \text{ где } \varphi_i = k \sum_j \frac{q_j}{R_{ji}}, \text{ но эта формула не учитывает}$$

взаимодействие эл. заряда каждого шара между собой.

Энергия взаимодействия зарядов при наложении диполей-шаров:

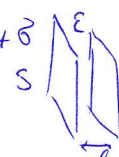
$$W = \frac{1}{2} \sum_i q_i \varphi_i, \text{ но } \varphi_i = k \sum_j \frac{q_j}{R_{ij}}$$

Энергия взаимодействия зарядов при непрерывном распределении зарядов:

$$W = \frac{1}{2} \int \rho \varphi dV$$

Пример: Энергия конденсатора: $W = \frac{1}{2} q_1 \varphi_1 + \frac{1}{2} q_2 \varphi_2 = \frac{1}{2} q_1 (\varphi_1 - \varphi_2) = \frac{1}{2} q_1 u = \frac{\epsilon_0 e^2}{2}$

Энергия электростатического поля и её обвязка иллюстра:



$$W = \frac{1}{2} C U^2 = \frac{1}{2} \frac{\epsilon_0 \epsilon S}{d} (Ed)^2 = \frac{1}{2} \frac{\epsilon_0 \epsilon E^2}{d} \cdot E \cdot \frac{Sd}{V} = \frac{DE \cdot V}{2}$$

$$\Rightarrow W = \frac{U}{V} \text{ - обвязка энергии.}$$

Строение вектора фортумы для иллюстрации энергии электростат. поля:

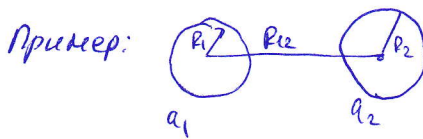
$$W = \frac{1}{2} \int_V \rho \varphi dV = \frac{1}{2} \int_V \rho \varphi dV = \frac{1}{2} \int_{\infty} \rho \operatorname{div}(\vec{D}) \varphi dV = \frac{1}{2} \int_{\infty} \left(\sum_{i=1}^3 \frac{\partial D_i}{\partial x_i} \right) \varphi dV = \frac{1}{2} \int_{\infty}$$

$$= \frac{1}{2} \int_{\infty} \left(\underbrace{\sum_{i=1}^3 \frac{\partial (\rho_i \varphi)}{\partial x_i}}_{\operatorname{div}(\rho \vec{D})} - \underbrace{\sum_{i=1}^3 D_i \frac{\partial \varphi}{\partial x_i}}_{-\vec{D} \cdot \vec{E}} \right) dV = \frac{1}{2} \int_{\infty} \varphi \vec{D} dS + \frac{1}{2} \int_{\infty} \vec{D} \vec{E} dV = \int_{\infty} u dV, \text{ где } u = \frac{\vec{D} \cdot \vec{E}}{2}$$

$\underbrace{S_{R \rightarrow \infty}}_{\rightarrow 0}$

Энергия взаимодействия и собственная энергия.

- Собств. энергия заряженного тела - это энергия, обусловленная взаимодействием зарядов данного тела друг с другом.
- Энергия взаимодействия двух заряженных тел - это энергия, обусловленная взаимодействием зарядов одного тела с зарядами другого тела



2 заряженных проводящих шара:

① Для соединенных шаров:

$$W_1 \text{собств.} = \frac{q_1 \varphi_1}{2}, W_2 \text{собств.} = \frac{q_2 \varphi_2}{2}$$

② Для взаимод. шаров:

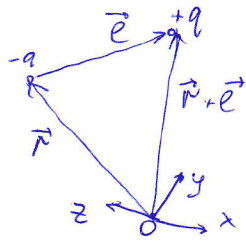
$$\varphi_1 = \varphi_1^{q_1} + \varphi_1^{q_2}, \varphi_2 = \varphi_2^{q_1} + \varphi_2^{q_2}. W = \frac{1}{2} q_1 \varphi_1 + \frac{1}{2} q_2 \varphi_2 = \underbrace{\frac{1}{2} q_1 \varphi_1}_{W_1 \text{собств.}} + \underbrace{\frac{1}{2} q_2 \varphi_2^{q_2}}_{W_2 \text{собств.}} + \underbrace{\frac{1}{2} q_1 \varphi_2^{q_2} + \frac{1}{2} q_2 \varphi_1^{q_1}}_{\text{извзаимод.}}$$

$\vec{E} = \vec{E}_1 + \vec{E}_2$ в рамках ионового формализма:

$$W = \int_{\infty} \frac{\epsilon_0 (\vec{E}_1 + \vec{E}_2)^2}{2} dV = \underbrace{\int_{\infty} \frac{\epsilon_0 \vec{E}_1^2}{2} dV}_{W_1 \text{собств.}} + \underbrace{\int_{\infty} \frac{\epsilon_0 \vec{E}_2^2}{2} dV}_{W_2 \text{собств.}} + \underbrace{\int_{\infty} \epsilon_0 \vec{E}_1 \vec{E}_2 dV}_{\text{извзаимод.}}$$

При $R_{1,2} \rightarrow 0, W_{1,2} \text{собств.} \rightarrow \infty; W_{\text{извзаимод.}} \leq 0 \text{ или } > 0$

Энергия электрического диполя во внешнем поле



$$W = q\varphi(\vec{r} + \vec{e}) - q\varphi(\vec{r})$$

$$\text{а } \varphi(\vec{r} + \vec{e}) = \varphi(x + l_x, y + l_y, z + l_z) = \varphi(\vec{r}) + \frac{\partial \varphi}{\partial x} l_x + \frac{\partial \varphi}{\partial y} l_y + \frac{\partial \varphi}{\partial z} l_z + \dots,$$

$$W = \underbrace{q\vec{e} \cdot \nabla \varphi}_{\vec{P} \cdot \vec{E}} = -\vec{P} \cdot \vec{E}$$

(3) Пондеромоторные силы в электромагн. поле. Силы, действующие на диполь. Объемные и поверхносные силы, действующие на диполиарник в эл. поле.

Пондеромоторные силы — силы, действующие на тела, находящиеся в электромагнитном поле.

Все силы, возникающие в электромагнитическом поле, являются в конечном счете силами, действующими на заряд.

Сила, действующая на точечный заряд:

$$\vec{F} = q\vec{E} = -q \cdot \text{grad} \varphi$$

Сила, действующая на непрерывно распределенный заряд:

$$d\vec{F} = \rho \vec{E} dV$$

Сила, действующая на диполь.

$$\vec{F} = \vec{F}_{(+)} + \vec{F}_{(-)} = q [\vec{E}(\vec{r} + \vec{e}) - \vec{E}(\vec{r})]$$

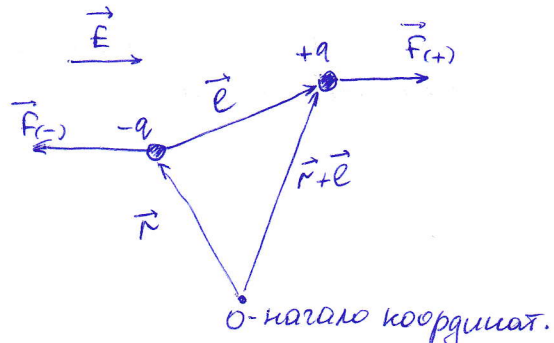
Представим $\vec{E}(r + \vec{e})$ в виде:

$$\vec{E}(r + \vec{e}) = \vec{E}(r) + l_x \frac{\partial \vec{E}(r)}{\partial x} + l_y \frac{\partial \vec{E}(r)}{\partial y} + l_z \frac{\partial \vec{E}(r)}{\partial z} + \dots =$$

$$= \vec{E}(r) + (\vec{e} \cdot \nabla) \vec{E}(r), \text{ где}$$

$$(\vec{e} \cdot \nabla) = l_x \frac{\partial}{\partial x} + l_y \frac{\partial}{\partial y} + l_z \frac{\partial}{\partial z} \Rightarrow$$

\Rightarrow Сила, действующая на диполь: $\vec{F} = (P \nabla) \vec{E}$



Сила, действующая на диполь.

Момент сил, действующих на диполь: $\vec{M} = [\vec{P} \cdot \vec{E}] = [(\vec{r} + \vec{e})q, \vec{E}(\vec{r} + \vec{e})] - [\vec{r}q, \vec{E}(\vec{r})]$

Объемные силы, действующие на диполиарник.

$dF = \sum_i F_i = \sum_i (P_i \cdot \nabla) E_i$ — сила, приложенная к элементу объема dV диполиарника, равна сумме сил, действующих на элементарные диполи dV этого объема.

$$\sum_i P_i = P_{dV} \Rightarrow f = \frac{dF}{dV} = (P \nabla) E$$

$$P = \chi \epsilon_0 E = \epsilon_0 (\epsilon - 1) E, \text{ а } (\cancel{E} \cdot \cancel{E}) (E \nabla) E = \frac{1}{2} \text{ grad} E^2 - \cancel{E} \cdot \cancel{E} E \cdot \text{rot} E$$

(нот.к. поле E потенциальное, то $\text{rot} E = 0$) $\Rightarrow f = \epsilon_0 \frac{(\epsilon - 1)}{2} \text{ grad} E^2$

Пример: Влияние силы притяжения на массу ионного конденсатора, помещенного в жидкое диэлектрик, если $q=\text{const}$.

$$W = \frac{Cq^2}{2} = \frac{q^2}{2\epsilon_0 S}, d - \text{обобщенная координата.}$$

$$Fd = -\frac{\partial W}{\partial d} \Big|_{q=\text{const}} = -\frac{q^2}{2\epsilon_0 S} = -\frac{q}{2} \frac{\delta}{\epsilon_0} = -\frac{q}{2} E$$

В диэлектрике сила взаимодействия массы уменьшилась в ϵ_0 раз, т.е. $Fd = Fd/\epsilon_0$.

Формула $f = \epsilon_0(\epsilon - 1) \cdot \text{grad} E^2$ справедлива как для абсолютно чистых диэлектриков, так и для смесей, если \vec{r} -дипольные моменты отдельных молекул не складываются (~~и не~~) и не расщепляются.

Сила, действующая на проводник:

на заряд $dq = \sigma dS$, находящийся на элементе поверхности dS проводника, действует лишь половина напряженности поля, имеющаяся у поверхности проводника, поскольку вторая половина создается самим зарядом элемента поверхности и не может на него действовать (см. пункта с диэлектриками)

$$\Rightarrow f_{\text{пов}} = \frac{dF}{dS} = \frac{\sigma E}{2} = \frac{\sigma^2}{2\epsilon} \vec{n}.$$

Т.о., на поверхности проводника сила всегда действует в направлении внешней нормали и как бы стремится увеличить его объем.

Сила на диэлектрик: $f_n = \frac{1}{2} D_n^2 \left(\frac{1}{\epsilon_2} - \frac{1}{\epsilon_1} \right)$

④ Электронная теория поляризации диэлектриков. Полярное поле. Неполярные диэлектрики. Формула Клаузенса - Мессотти. Полярные диэлектрики. Руминец Ланцевена.

Поляризационные свойства диэлектриков определяются поляризационными особенностями молекул вещества.

Все молекулы любят разделять на полярные и неполярные молекулы.

У неполярных молекул вогущество внешнего эл. поля дипольного момента равно 0. Полярные молекулы обладают собственным дипольным моментом.

Поляризация неполярных молекул:

дипольный момент

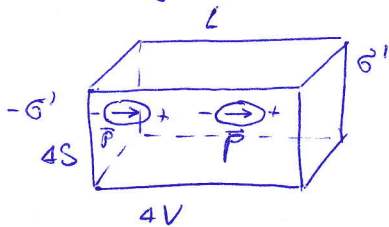
$\vec{P} = \epsilon_0 \beta \vec{E}_0$, где β - поляризуемость молекулы. Для оценки можно рассматривать

молекулу как проводящий шар с $R \sim 10^{-8}$ см, тогда $\vec{P} = 4\pi \epsilon_0 R^3 \vec{E}_0$, $\beta = 4\pi R^3 n \cdot 10^{-24} \text{ см}^3$

Микроскопическое и макроскопическое поле в диэлектрике.

$$\vec{E}_{\text{макро}} = \left\langle \vec{E}(\vec{r}, t)_{\text{микро}} \right\rangle_{\Delta V} = \frac{1}{\Delta V} \int \vec{E}(\vec{r}, t)_{\text{микро}} dV$$

Поле в диэлектрике это $\vec{E} = \vec{E}_{\text{макро}}$



Локальное поле:

В результате поляризации диэлектрика, помещенного во внешнее поле, само диэлектрик становится источником электрического поля. \Rightarrow Поле внутри диэлектрика, которое действует на его молекулы, отличается от внешнего. Оно называется локальным. Отличие локального $E_{\text{лок}}$ от $E_{\text{внеш}}$ существенно для диэлектриков с большой плотностью зарядов тел.

$$\vec{E}_{\text{лок}} = \vec{E}_{\text{внеш}} - \vec{E}_{\text{макро}} \approx \vec{E}_{\text{внеш}}$$

Поляризуемость разреженных газов.

$$\vec{P} = \frac{\sum_i \vec{p}_i}{\Delta V} = \frac{N \alpha V}{\Delta V} \vec{p}_1 = n \cdot \vec{p}_1 = n \cdot \epsilon_0 \beta \vec{E}_0 = \epsilon_0 n \beta \vec{E}$$

Таким образом имеем

$$\alpha = \epsilon - 1 = n \beta$$

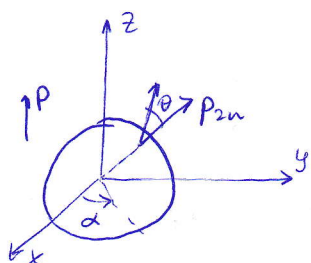
Вычисление напряженности локального поля:

Введем в объем диэлектрика радиусы малую сферу, в центре которой возникает напряженность локального поля:

$$\vec{E}_{\text{в центре}} = \vec{E}_1 + \vec{E}_2$$

направлена часовой стрелкой в объема шара.

E_2 - создает тот же самый диэлектрик, который расположен в шаре



При вычислении E_2 -можно считать диэлектрик сильной средой:

напряженность в центре сферы создается связанными зарядами на её поверхности, как на границе раздела между двумя средами с различной диэлектрической проницаемостью.

$$\beta_{\text{сф}} = -(P_{\text{en}} - P_{\text{ш}}) = -P_{\text{ш}} \quad (P_{\text{ш}}-\text{направлено внутрь сферы, а там ничего нет (распределение } E_2 \text{ учитывается только выше, за пределами шара)})$$

I неперизированного P вдоль оси z :

$$\text{Тогда } \vec{P}_{\text{вс}} = -P_{\text{нн}} = P \cos \theta$$

В гелиевом угле для распределения поверхности заряда:

$dQ = \vec{P}_{\text{вс}} n^2 d\Omega$, где n -радиус сферы. Этот заряд создает напр. поле по оси z :

$$\Rightarrow dE_z = -\frac{1}{4\pi\epsilon_0} \cdot \frac{dQ}{r^2} \cos \theta.$$

Видно, что отличие от 0 является только компонента напр. поля только вдоль оси z .

$$E_z = E_x = \frac{1}{4\pi\epsilon_0} \cdot P \int \cos^2 \theta d\Omega = E_z = \frac{1}{4\pi\epsilon_0} \cdot P \int_0^{2\pi} d\alpha \int_0^\pi \cos^2 \theta \sin \theta d\theta = \frac{1}{3\epsilon_0} \cdot P$$

$\Rightarrow \vec{E}_1 = \frac{1}{3\epsilon_0} \vec{P}$ — формула справедлива лишь для бесконечного однородного диэлектрика. Если диэлектрик конечен, то напряженность поля в нем зависит, вообще говоря, от его размеров и формы.

Напряженность E_2 зависит от распределения дипольных моментов молекул внутри выделенной фигуры из малой сферы.

В общем напряженность для случая, когда молекулы расположены в узлах кубической кристаллической решетки, а все дипольные моменты имеют одноаковое направление в пространство.

Найдем E_2 в наугле координат, исключив оси x, y, z по ребрам.

$$\vec{E}_2 = \frac{1}{4\pi\epsilon_0} \cdot \sum_i \left(\frac{3(\vec{P} \vec{r}_i)}{r_i^5} - \frac{\vec{P}}{r_i^3} \right) \Rightarrow E_{2x} = \frac{1}{4\pi\epsilon_0} \cdot \sum_i \frac{3(p_x x_i + p_y y_i + p_z z_i)x_i - p_x r_i^2}{r_i^5} = 0$$

Это следует из: для кубической симметрии при суммировании по сферическиому слою: $\sum_i (x_i^2 + y_i^2 + z_i^2) = \sum_i r_i^2$; $\sum_i x_i^2 = \sum_i y_i^2 = \sum_i z_i^2 = \sum_i \frac{1}{3} r_i^2$

$$\sum_i x_i y_i = \sum_i y_i z_i = \sum_i z_i x_i = 0. \Rightarrow E_{2x} = \frac{1}{4\pi\epsilon_0} \cdot \sum_i \frac{3p_x x_i^2 - p_x r_i^2}{r_i^5} = \frac{1}{4\pi\epsilon_0} \cdot \sum_i \frac{3p_x \cdot \frac{1}{3} r_i^2 - p_x r_i^2}{r_i^5} = 0$$

Аналогично: $E_{2y} = E_{2z} = 0$.

$$\Rightarrow \vec{E}_{\text{лок}} = \vec{E} + \vec{E}_{\text{неперизация}} = \vec{E} + (\vec{E}_1 + \vec{E}_2) = \vec{E} + \vec{E}_1 = \vec{E} + \frac{1}{3\epsilon_0} \vec{P}$$

Таким образом вектор неперизации равен:

$$\vec{P} = \epsilon_0 \beta \vec{E}_{\text{лок}} = \epsilon_0 \beta (\vec{E} + \frac{1}{3\epsilon_0} \vec{P})$$

$$\Rightarrow \vec{P} = \frac{\epsilon_0 \beta \vec{E}}{1 - \frac{\epsilon_0 \beta}{3}} \quad \vec{P} - \frac{\epsilon_0 \beta \vec{E}}{3} = \epsilon_0 \beta \vec{E} \quad \vec{P} = \epsilon_0 \frac{\beta \vec{E}}{1 - \frac{\epsilon_0 \beta}{3}}$$

$$\text{и } \frac{\epsilon_0 \beta}{1 - \frac{\epsilon_0 \beta}{3}} = \epsilon - 1 \Rightarrow \frac{\epsilon_0 \beta}{3} (\epsilon - 1) + \epsilon_0 \beta = \epsilon - 1 \Rightarrow \boxed{\frac{3(\epsilon - 1)}{\epsilon + 2} = \epsilon_0 \beta}, \text{ формула Клаузуса-Мосotti.}$$

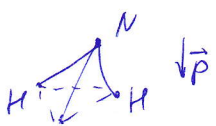
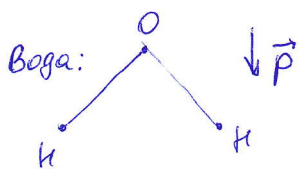
$\beta = X$ в старых обозначениях.

Её можно представить в виде:

$$\text{т.к. } \kappa = \frac{g_m}{\mu} N_A, \text{ то } \beta N_A = \frac{M}{g_m} \cdot \frac{\epsilon - 1}{\epsilon + 2}$$

В широких пределах для неполярных диэлектриков не зависит от физич. параметров (пример: для CO₂ до $P=100 \text{ MPa}$ при $t=100^\circ\text{C}$)

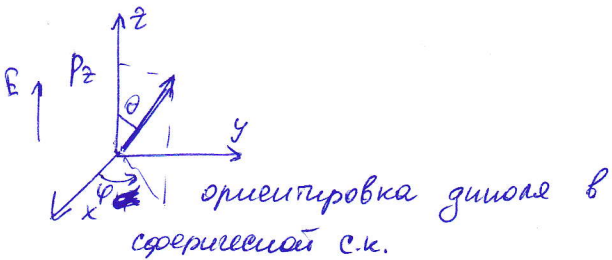
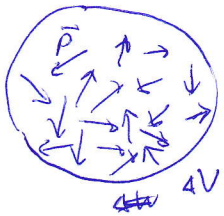
Поларные диэлектрики.



ст. к. кинетич. 2 синг. стр.

т.к. устойчивое состоян. с $E = \text{мин}$, то
и моменты dipолей поларных молекул сориентированы
поворачиваются до совпадения с направл. на приложении эл. поля.

Поларизующий газообразного поларного диэлектрика:



$$\langle N \rangle = -\rho E \cos \theta = -P_z E \text{ из рисунка}$$

В соответствии с распределением Больцмана:

~~для $E \ll kT$~~ число молекул, dipольные моменты которых расположены в угле $d\Omega$

$$dN = A e^{\frac{-PE \cos \theta}{kT}} d\Omega = A e^{\frac{-PE \cos \theta}{kT}} d\varphi \sin \theta d\theta$$

Тогда среднее значение компонента момента dipолей по оси z равно:

$$\langle P_z \rangle = \frac{\int p_z dN}{\int dN} = \frac{A \rho \int_0^{2\pi} d\varphi \int_0^{\pi} e^{\frac{-PE \cos \theta}{kT}} \cos \theta \sin \theta d\theta}{A \int_0^{2\pi} d\varphi \int_0^{\pi} e^{\frac{-PE \cos \theta}{kT}} \sin \theta d\theta}, \text{ где } P_z = \rho \cos \theta \text{ и } \beta = \frac{PE}{kT}$$

$$1) \int_0^{\pi} e^{\frac{-PE \cos \theta}{kT}} \cos \theta \sin \theta d\theta = \frac{\partial I}{\partial \beta}, \text{ где } I = \int_0^{\pi} e^{\frac{-PE \cos \theta}{kT}} \sin \theta d\theta$$

$$I = \int_0^{\pi} e^{\frac{-PE \cos \theta}{kT}} \sin \theta d\theta = -\frac{1}{\beta} e^{\frac{-PE \cos \theta}{kT}} \Big|_0^{\pi} = \frac{2}{\beta} \sinh \beta, \text{ откуда } \frac{\partial I}{\partial \beta} = \frac{2}{\beta} (\cosh \beta - \frac{1}{\beta} \sinh \beta)$$

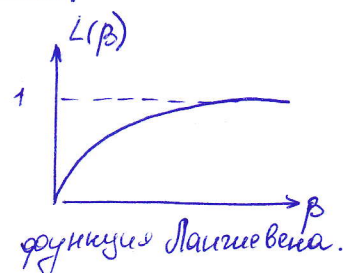
$$\Rightarrow \langle P_z \rangle = \rho L(\beta), \text{ где } L(\beta) = \cosh \beta - \frac{1}{\beta} \sinh \beta - \text{функция Ланжевена.}$$

При не очень больших напряженостях поле, когда $\rho E \ll kT$, т.е. $\beta \ll 1$, разлагаем $\cosh \beta$ в ряд

$$\cosh \beta = \frac{1}{\beta} + \beta/3 - \beta^3/45 + \dots \text{ получим:}$$

$$\text{следовательно } L(\beta) \approx \beta/3.$$

$$\Rightarrow \langle P_z \rangle = \frac{\rho^2 E}{3kT}$$



функция Ланжевена.

При $\beta \gg 1$, т.е. $\rho E \gg kT$ $\langle P_z \rangle = \rho$ ($L(\beta \rightarrow \infty) \rightarrow 1$) При выполнении условия $\langle P_z \rangle = \rho$ достигается максимальное возможное поларизование и дальнейшее увеличение напряженности поля не приводит к её увеличению.

E - напряженность поля настичения.

⑯ Электрические свойства кристаллов. Пироэлектрики. Пьезоэлектрики. Прямой и обратный пьезоэфект и его применение. Семиэлектрики. Их основные свойства. Доменная структура семиэлектриков. Гистерезис. Тогда кое-что семиэлектриков. Применение семиэлектриков.

Поларизация ионных кристаллов.



В кристаллических веществах возможно смещение положительной и отрицательной ^{ионных} подрешеток относительно друг друга под действием внешнего электрического поля. Такая поларизация - ионная поларизация

Пироэлектрики.

- Пироэлектрики - кристаллические диэлектрики в состоянии термодинамического равновесия обладающие способностью (спонтанной) поларизации, т.е. поларизуются в отсутствие внешних воздействий (например: кристалл турмалина (из-за того, что решетки положительных и отриц. ионов смешены))

Пироэлектричество - явление возникновения электрического поля в кристаллах при изменении их температуры.

Обычно спонтанная поларизация ионов ионов нейтрона (т.к. эл.поле, создаваемое им, компенсируется ионами свободных электрических зарядов, которые "каткают" на поверхность из его объема изокорни воздуха).

При изменении температуры величина спонтанной поларизации изменяется, что вызывает появление электрического поля, которое можно наблюдать, пока свободные заряды не успеют скомпенсировать ее. Это явление называется пироэлектрическим эффектом или пироэлектризмом.

Пьезоэлектрики

- Пьезоэлектричество - способность вещества при изменении формы продуцировать электрическую силу.

- Пьезоэлектрики - кристаллы, обладающие способом при деформации возникновение электрической поларизации (прямой пьезоэффект) и наоборот при спонтанном электрическом поле происходит деформация (обратный пьезоэффект) (кристаллы кварца, турмалина, граната бария и другие)

Пьезоэлектрики используются: ① как датчик давления, пьезоэл. детонатор, источники звука огромной мощности, миниатюрные трансформаторы.

② датчики, пьезоэлектрические источники и датчики ультразвука.

(пьезоэлектрик колебается (деформируется) под воздействием звука, и наоборот при деформации может создавать звук)

Все ионорэлектрики - это ионорэлектрики, ионе ионоры.

Т.к. синтетическая ионоризация идет и при механической деформации.

Синтетическая ионоризация

Синтетическая ионоризация - ионорные (кристаллические) домены диэлектрики, которые в определенном интервале температур, называемом ионорной областью, спонтанно ионоризованы, т.е. обладают ионоризованностью вогнутой стороны этого иона. (например: титанат бария BaTiO_3)

Свойства синтетической ионоризации:

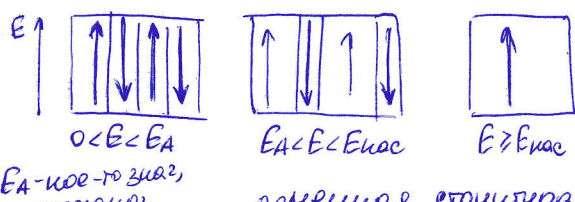
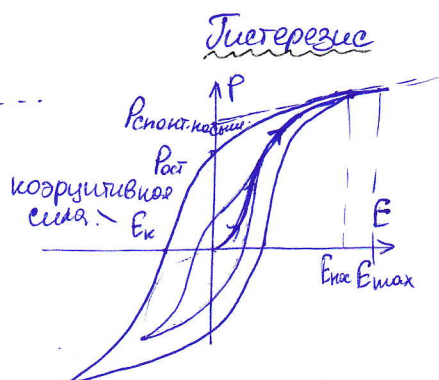
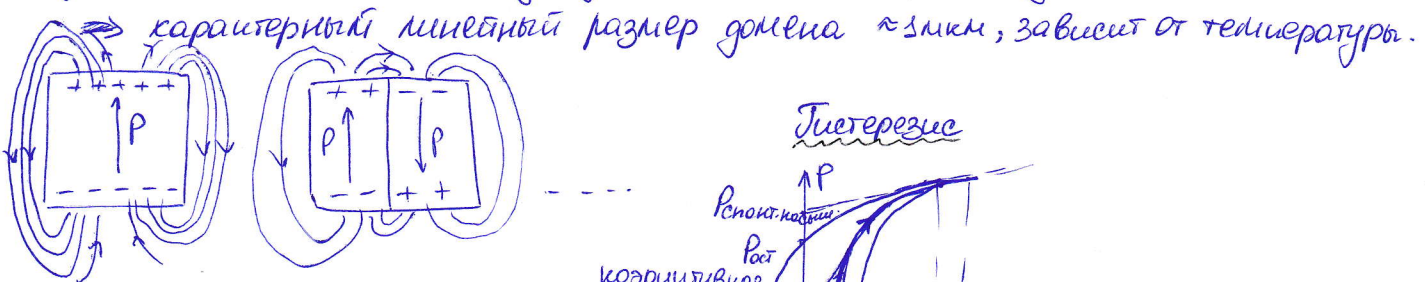
- ① большие значения диэлектрической проницаемости ($\epsilon \sim 10^3 - 10^4$)
- ② линейная зависимость $P \propto E \Rightarrow$ зависимость $E(P)$ линейные.
- ③ явление синтетической магниторезистии, т.е. отставание изменения P от E

Т.к. ионоризация синтетической ионоризации определяется не только значением напряженности поля, но и зависит от предшествовавших значений ионоризации
 ④ резкое падение E (при E -половинах) при температуре, соответствующей началу ионорной области.

Доменная структура синтетической ионоризации:

Синтетическая ионоризация идет в целом при $E_{\text{внеш}} = 0$ и не может быть ионоризован однородно по всему макроскопическому объему, это энергетически невыгодно, неустойчивое состояние термодинамическим соотношениями \Rightarrow или полной энергии синтетической ионоризации образует состояния при самонаправленном разделении макроскопического объема кристалла на области, спонтанно ионоризованные, но отличающиеся направлением вектора ионоризации, так называемые диэлектрические домены. При этом средний дипольный момент \rightarrow , энергия снижается.

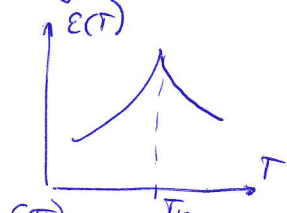
Взаимодействие ионов по каскаде расщепления систем из-за потока энергии, увеличивающее ионизацию доменных стенок (границ доменов)



доменная структура синтетической ионоризации, соответствующая различным стадиям процесса ионоризации.

Область 3 полерной фазы: область температур, где спонтанная поляризация и все процессы, обусловленные ею, существуют в сингнетомагнитическом кристалле.

На границах полерной фазы сингнетомагниты испытывают фазовые переходы, при которых наблюдаются сингнетомагнитические фазовые переходы, называемые сингнетомагнитическими точками кюри T_{K} .



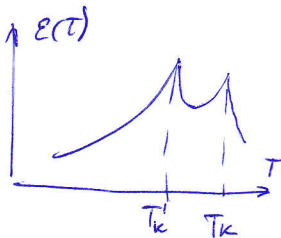
$\epsilon(T)$ при T_K

Близи точки кюри винилополерной фазе выполняется закон кюри-Вейсса; связывающий параметр называется константой Томо-Токи $\alpha = \frac{C}{T - T_0}$, где C - константа, определяющая вид сингнетомагнита.

Если 2 точки кюри, то $\alpha = \frac{C}{T - T_0}$ и $\alpha' = \frac{C'}{T_0 - T}$

Увертый (правый)

нижний (левый)



Применение сингнетомагнитов:

① малогабаритные конденсаторы в качестве мини. элементов радиотех. устройств.

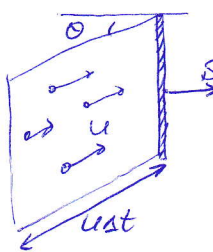
② В Единицах изменяются преломляющие свойства сингнетомагнитов кристаллов (компьютеры телевизоры показатели преломления): это явление используется для управления световыми пучками

④ Постоянный электрический ток. Сила и плотность тока. Интенсивность. Электрическое поле в проводнике с током и его источники. Уравнение непрерывности. Условие стационарности тока.

Электрический ток - непрерывное движение электрических зарядов.

Сила электрического тока через заданную поверхность определяется величиной заряда, проходящего через эту поверхность за единицу времени. $I = \frac{q}{t}$

Плотность тока - это векторная величина, проекция которой на нормаль к элементарной поверхности равна величине электрического заряда, проходящего через единицу поверхности за единицу времени.



$$I_s = \frac{Q}{\Delta t} = \frac{q n \Delta V}{\Delta t} = q n i \Delta t \cos \theta = q n \langle \vec{u} \cdot \vec{s} \rangle$$

$$\vec{J} = q n \vec{u}$$

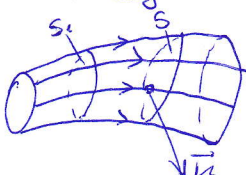
Если заряды движутся с различными скоростями:

$$I_s = \sum_i q n_i \langle \vec{u}_i \cdot \vec{s} \rangle = \vec{J} \cdot \vec{s}, \text{ где } \vec{J} = \sum_i q n_i \vec{u}_i - \text{момент тока.}$$

$$\vec{J} = q \cdot \frac{\sum_i u_i \vec{u}_i}{n} n = q n \langle \vec{u} \rangle, \text{ где } n = \sum_i n_i; \langle \vec{u} \rangle = \frac{\sum_i n_i \vec{u}_i}{n}$$

Линии тока.

Линии тока - линии, касательные к которым направлены по направлению средней (или дрейфовой) скорости. Для стационарных токов вдоль этих линий движутся заряженные частицы.

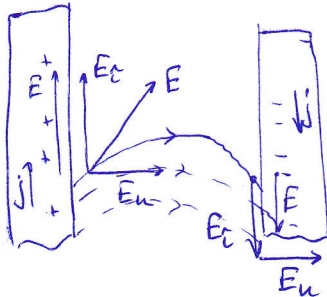
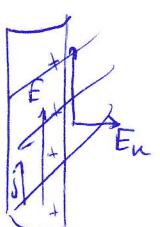


трубка тока.

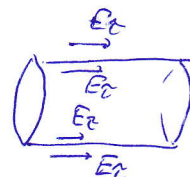
Поле в проводнике

Закон Ома в дифференциальной форме имеет вид $j = \sigma E$. При наличии тока $j \neq 0$ ($j = J$ в обозначении x выше) $E \neq 0$. Таким образом, внутри проводника с током имеется электрическое поле. (но в электростатике ток внутри проводников отсутствует).

будем рассматривать линейные проводники, у которых $I = j s$



из граничного условия $\operatorname{div} D = \rho$ заключаем что близко поверхности вне проводника имеется электрическое поле, тангенциальная составляющая которого равна E_t , которой равна тангенциальная составляющая наружности E_t поля внутри проводника.



Уравнение непрерывности. Условие стационарного тока.

Согласно закону сохранения заряда:

$$\frac{\partial Q}{\partial t} = \frac{\partial}{\partial t} \int_S q dV = - \oint \vec{J} dS = - \int_V \operatorname{div} \vec{J} dV \Rightarrow \int_V \left(\frac{\partial \rho}{\partial t} + \operatorname{div} \vec{J} \right) dV = 0$$

$$\frac{\partial \rho}{\partial t} + \operatorname{div} \vec{J} = 0 - \text{уравнение непрерывности}$$

В стационарном случае: $\frac{\partial \rho}{\partial t} = 0 \Rightarrow \operatorname{div} \vec{J} = 0$

(17) Электрическое напряжение. Закон Ома для участка цепи. Электросопротивление. Закон Ома в дифференциальной форме. Цельная электрическая проводимость вещества. Отсутствие в однородном проводнике объемных зарядов.

Дополнение к вопросу 16:

т.к. видно, что силовые линии электрического поля не касательны к поверхности проводника, то вне проводника близко его поверхности параллель с тангенциальной составляющей напряженности E_t электрического поля имеет такие нормальную составляющую E_n . Однако внутри проводника $E_n = 0$. Поэтому из уравнения $E = \frac{\rho}{\epsilon_0 S}$ заключаем, что на поверхности проводника должны существовать заряды, поверхность которых:

$$\delta = \epsilon_0 E_n \text{ если снаружи нет диэлектрика} \\ \delta = \sigma$$

Поверхностные заряды:

т.о. на поверхности проводника, по которому течет постоянный электрический ток, имеются электрические заряды. Они являются источниками электрического поля, которое \vec{E} в проводнике и обеспечивает наличие постоянного тока.

Поверхностный плотность заряда на различных участках проводника может иметь различные значения (см. рисунок с изогнутыми: вопрос 16.)

Объемные заряды:

В однородных проводниках имеются только поверхностные заряды. В неоднородных проводниках, когда проводимость изменяется от точки к точке, возникают такие заряды в объеме проводника (объемный заряд в веществе в принципе может быть как свободным, так и связанным)

В однородном проводнике отсутствуют объемные заряды:

для стационарных токов: $\operatorname{div} \vec{J} = 0 = \operatorname{div}(\lambda \vec{E}) = \lambda \operatorname{div} \vec{E} + (\vec{E} \cdot \nabla \lambda)$
если $\lambda = \text{const}$, то $\nabla \lambda = 0 \Rightarrow \operatorname{div} \vec{E} = \rho / \epsilon_0 = 0$.

Электрическое напряжение между точками A и B в электрической цепи или электрического поля $U_{12} = \varphi_1 - \varphi_2 = \int_1^2 \vec{E} d\vec{l}$



Электрическое сопротивление -

- физическая величина, характеризующая свойства проводника препятствовать прохождению электрического тока и равное отношение напряжения на концах проводника к силе тока, протекающего по нему. Сопротивление дуги членов переменного тока и для переменных электромагнитных полей описывается показателем или недавно и волнистого сопротивления.

Закон Ома для участка цепи.
из опыта $I = f(U)$.

Для многих проводников эта зависимость линейная:

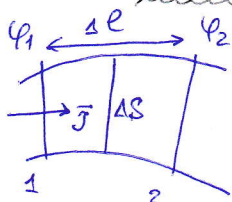
$$I = \lambda U = \frac{1}{R} U, \text{ где } \lambda \text{ и } R - \text{электрическая проводимость и сопротивление.}$$

$$R = [Ω]$$

Удельное электрическое сопротивление: $R = \rho \frac{l}{S}$

Удельное сопротивление зависит от температуры: $\rho = \rho_0 (1 + \alpha(t - t_0))$, где α -температурный коэффициент сопротивления
для чистых металлов $\alpha \approx 1/273 K^{-1} = 0,00367 K^{-1}$

Закон Ома в дифференциальной форме:



$$\text{поток} \\ I = j dS = \frac{\varphi_1 - \varphi_2}{R} = \frac{\varphi_1 - \varphi_2}{\rho \frac{l}{S}} = \frac{\varphi_1 - \varphi_2}{\rho \frac{\Delta \varphi}{\Delta S}}$$

сгруппировав

$$\frac{1}{\rho} \cdot \frac{\varphi_1 - \varphi_2}{\Delta \varphi} \cdot \Delta S = \frac{1}{\rho} \underbrace{\left(\frac{-d\varphi}{de} \right) \Delta S}_{E} = \frac{1}{\rho} E \Delta S$$

$$j = \frac{1}{\rho} E = \lambda E, \text{ где}$$

$$\lambda = \frac{1}{\rho} - \text{удельная электропроводность.}$$

В векторной форме: $\vec{J} = \lambda \vec{E}$ - закон Ома в дифференциальной форме.

(18) Работа и мощность источника тока. Закон Фарadays - Ленца и его дифференциальная форма.

Дополнительно к вопросу №17.

Свободные токи и электрическое поле в сплошных средах.

а) сопротивление сферического конденсатора с утечкой.

$$E = \frac{1}{4\pi\epsilon_0 r^2} \cdot \frac{q}{r} \cdot 4\pi r^2 = \frac{1}{4\pi\epsilon_0 \epsilon} \left(\frac{q}{r} - \frac{q}{R} \right), \quad \frac{\varphi_a - \varphi_b}{l} = \frac{1}{4\pi\epsilon_0 \epsilon} \left(\frac{q}{a} - \frac{q}{b} \right), \quad j = EI \Rightarrow$$

$$\Rightarrow q = 4\pi\epsilon_0 \epsilon r^2 \frac{I}{\lambda} = \frac{\epsilon_0 \epsilon}{\lambda} I, \text{ где } I = 4\pi r^2 J / (4\pi r^2 \text{ - площадь поверхности шара радиуса } R).$$

$$U = \frac{1}{4\pi\epsilon_0 \epsilon} \left(\frac{1}{a} - \frac{1}{b} \right) q = \frac{1}{4\pi\epsilon_0 \epsilon} \left(\frac{1}{a} - \frac{1}{b} \right) \frac{\epsilon_0 \epsilon}{\lambda} I = R \cdot I, \text{ где сопротивление } R = \frac{1}{4\pi\lambda} \left(\frac{1}{a} - \frac{1}{b} \right)$$

Заметим, что емкость сферического конденсатора $C = 4\pi\epsilon_0 \epsilon / \left(\frac{1}{a} - \frac{1}{b} \right)$ и $CR = \frac{\epsilon_0 \epsilon}{\lambda} -$

- универсальное
соотношение

Работа, совершаемая при прокладке тока.

Если между точками с разностью потенциалов U и переносится заряд dQ , то совершается работа $dA = dQU$

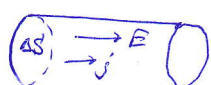
В проводнике проходит ток I . Рассмотрим участок проводника, между концами конца которого имеется разность потенциалов U . В течение времени dt на участке перемещается заряд $dQ = Idt$ и, следовательно, совершаемая работа равна: $dA = IUDt$.

Мощность, развиваемая током на этом участке, определяется формулой: $P = dA/dt = IU$

Если все падение потенциала происходит на омическом сопротивлении проводника, то по закону Ома $U = IR$, где R - сопротивление участка.

В этом случае все энергию выделяется в виде теплоты с мощностью:

$P = IU = I^2R$ - закон Фиоуле-Ленца



Дифференциальная форма закона Фиоуле-Ленца.

Применим закон $P = IU = I^2R$ к бесконечно малому цилинду, ось которого совпадает с направлением тока, получим $dP = (IΔS)^2 \frac{1}{\lambda} \frac{\Delta l}{\Delta S}$, где $I = jΔS$, j - плотность тока. Сопротивление бесконечно малого цилиндра $\Delta R = \Delta l / (\lambda \Delta S)$, а т.к. $\Delta S \Delta l = \Delta V$ - объем цилиндра.

Тогда из dP находим объемную мощность тепловой мощности P_V ,
 ~~$P_V = \frac{dP}{\Delta S \Delta l}$~~ $P_V = \Delta P / (\Delta S \Delta l) = j^2 / \lambda$ выделяющуюся в проводнике, т.е. теплота, образующаяся в 1 м^3 проводника в 1 сек.

Уравнение $P_V = \Delta P / (\Delta S \Delta l)$ - дифференциальная форма закона Фиоуле-Ленца, поскольку все величины

Уравнение $P_V = j^2 / \lambda$ - дифференциальная форма закона Фиоуле-Ленца, поскольку все величины относятся к одной и той же токе

Пользуясь законом Ома в дифференциальной форме, получим:

$$P_V = j^2 / \lambda = \lambda E^2 = jE$$

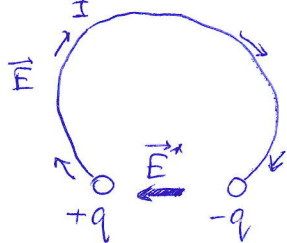
Из этих равенств, когда в левой части стоит P_V , является записью закона Фиоуле-Ленца в дифференциальной форме.

Источник энергии для работы электрического тока.

Падение потенциала в линии тока компенсируется соответствующим подъемом потенциала, возникающим в результате действия сторонних электродвигущих сил на заряды. При прокладке тока производится работа и выделяется энергия, например в форме теплоты. Сторонние электродвигущие силы совершают работу над зарядами, сообщая им соответствующую энергию.

Результатом получается, что все работа, совершаемая током, производится за счет сторонних электродвигущих сил.

⑬ Сторонние силы. ЭДС. Закон Ома для замкнутой цепи. Разветвленные цепи. Правило Кирхгофа. Примеры их применения.



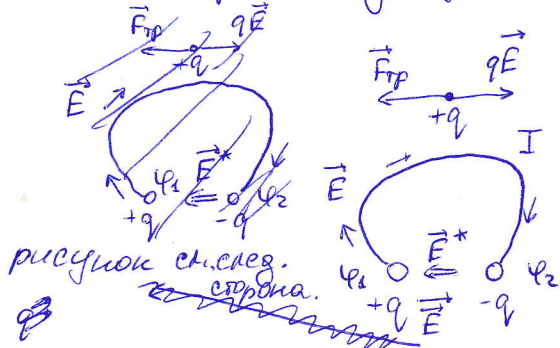
Для поддержания электрического тока в замкнутой цепи необходимо устройство (источник тока), совершающее посредством сторонних сил перемещение зарядов против действий электрических сил.

E^* -стороннее сила, действующая на единичный положительный заряд (напряженность сторонних сил),
 E -напряженность электрических сил.

Стороннее электродвигущее сила не может иметь электростатического происхождения по той простой причине, что электростатическое поле является потенциальным. Следовательно, работа поля по замкнутому контуру, по которому течет ток, равна 0, т.е. при этом условии ток не мог бы существовать, поскольку он должен совершать работу для преодоление электрического сопротивления проводников. Существование ненулевого тока доказывает, что сторонние электродвигущие силы имеют неэлектростатическое происхождение.

Электродвигущая сила (ЭДС) - скалярная физическая величина, характеризующая работу сторонних сил, то есть \vec{F} сил независимого происхождения, действующих в квазистационарных цепях постоянного или переменного тока. В замкнутом проводящем контуре ЭДС равна работе этих сил по перемещению единичного положительного заряда вдоль его контура.

Рассмотрим контур: движение q по контуру:



$$\int_1^2 q \vec{E} d\vec{l} = q(\varphi_1 - \varphi_2) = qU$$

$$\int_1^2 q \vec{E} d\vec{l} = - \int_1^2 \vec{F}_p d\vec{l} = Q_{динамово\ тепло},$$

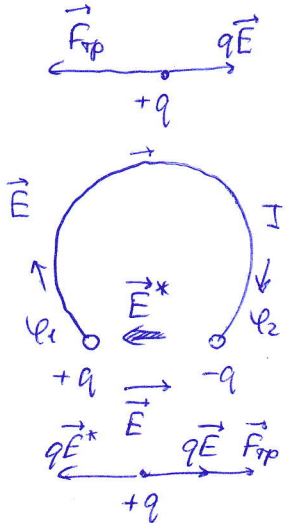
$$Q_{динамово\ тепло} = I^2 R t = qIR, \text{ где } R - \text{сопротивление внешней цепи.}$$

$$q \int_1^2 \vec{E}^* d\vec{l} = -q \int_1^2 \vec{E} d\vec{l} - \int_1^2 \vec{F}_p d\vec{l}$$

$$\underbrace{\int_1^2 \vec{E}^* d\vec{l}}_{\Phi_q} \quad \underbrace{-U}_{-U} \quad \underbrace{\int_1^2 \vec{F}_p d\vec{l}}_{-Q_{динамово\ тепло}}$$

$$Q'_{динамово\ тепло} = qIr, \text{ где } r - \text{внутреннее сопротивление цепи}$$

$$\text{Замечание: } Ir = I \cdot \frac{1}{2} \int_S \frac{d\vec{l}}{S} = \int_S \frac{I}{S} d\vec{l} = \int_S \vec{J} d\vec{l} \Rightarrow \vec{J} = \vec{E} + \vec{E}^*$$

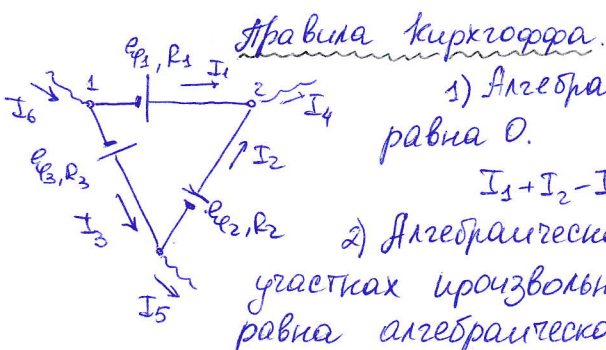


В результате имеем $\ell_q = U + IR = IR + IN -$
закон Ома для замкнутой цепи.
Здесь $\ell_q = \int_2^1 \vec{E}^* d\vec{l}$ - электродвижущая сила (ЭДС),
равная работе сторонних сил на перемещение
единичного положительного заряда.

Если направление тока характеризовать относительно электродов, то во внешней цепи ток течет от положительного электрода к отрицательному, а внутри источника ток \bar{I} - от отрицательного электрода к положительному

закон Ома для участка цепи с ЭДС.

$$\begin{aligned} & \text{1} \quad \vec{J} = \frac{1}{S} (\vec{E} + \vec{E}^*) \\ & \int_1^2 \vec{J} d\vec{l} = \int_1^2 \vec{E} d\vec{l} + \int_1^2 \vec{E}^* d\vec{l} \\ & \int_1^2 \vec{J} d\vec{l} = \int_1^2 \frac{I}{S} d\vec{l} = I \int_1^2 \frac{S}{S} d\vec{l} = I(R + \Delta) \\ & I(R + \Delta) = \underbrace{\varphi_1 - \varphi_2}_{U} + \ell_q \end{aligned}$$



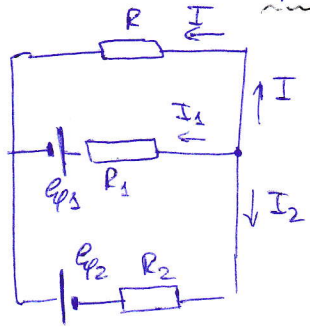
1) Алгебраическая сумма токов, сходящихся в узле, равна 0.

$$I_1 + I_2 - I_4 = 0 \Rightarrow \sum_k I_k = 0$$

2) Алгебраическая сумма произведений сил токов в отдельных участках произвольного замкнутого контура на их сопротивления равна алгебраической сумме ЭДС, действующих в этом контуре.

$$+ \left\{ \begin{array}{l} I_1 R_1 = \varphi_1 - \varphi_2 + \ell_q \\ -I_2 R_2 = \varphi_2 - \varphi_3 - \ell_q \\ -I_3 R_3 = \varphi_3 - \varphi_1 - \ell_q \end{array} \right. \Rightarrow \sum_n I_n R_n = \sum_k \ell_{qk}$$

Пример применение правил Кирхгофова.



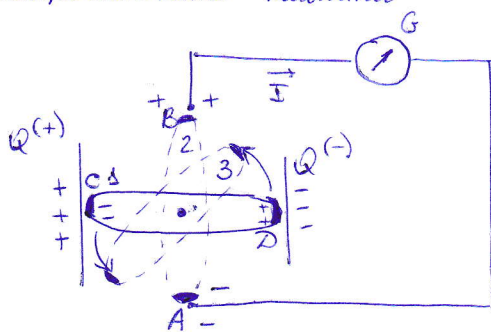
1) ~~ЗКР~~ $\left\{ \begin{array}{l} I + I_1 + I_2 = 0 \\ -IR + I_1R_1 = -e_{p3} \\ -IR + I_2R_2 = e_{p2} \end{array} \right\} \Rightarrow$

$$\Rightarrow -IR(R_1 + R_2) + R_1R_2(-I) = -e_{p3}R_2 + e_{p2}R_1.$$

$$I = \frac{e_{p3}R_2 - e_{p2}R_1}{R(R_1 + R_2) + R_1R_2}$$

Примеры источников тока.

• Электростатическая машина



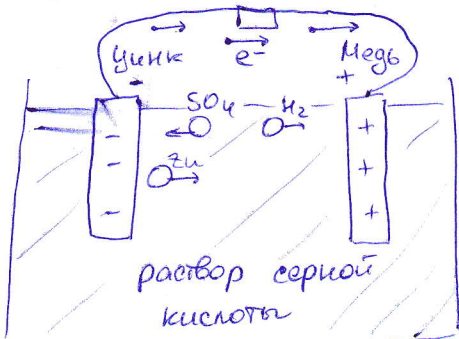
• $Q^{(+)} \text{ и } Q^{(-)}$ - заряженные пластини, между которыми создается электростатическое поле.

• В положении 1 пластины будут соединены перемычкой (неподвижным проводником). В результате электростатической индукции С и D - проводящие пластины. Пластины С и D в этом положении заряжаются соответственно отрицательно и положительно.

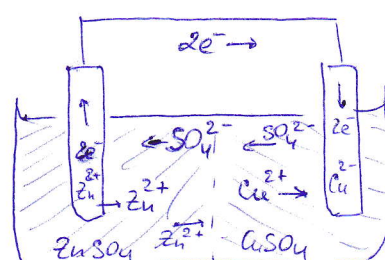
- При дальнейшем вращении их контакта (пластины С и D) пластины изолированы друг от друга, но несут на себе разноименные заряды.
- В положении 3 они вступают в контакт в электроды А и В, на которые переходит заряд с С и D. Получим ВСА ток импульсный ток. По 2 импульса за каждый оборот.
- Если увеличить число пластин С и D, то получится более постоянный ток.

Такая машина реализует спиральную ЭДС механического преисходления, возникающую за счет механических сил, обеспечивающих движение пластин С и D по окружности

• Гальванический элемент Вольфа:



• Элемент Фарадея-Якоби



• Свинцово-кислотные аккумуляторы.

Li-Ion (литий-ионные) аккумуляторы.

- *Li*-наиболее химически активный металл. На его основе работают современные источники питания для ноутбуков. Практически все высоконапряженные источники питания используют либо в силу его химических свойств.
- Килогратамм лития способен хранить 3860 ампер-часов. Для сравнения, показатель цинка - 820, свинца - 260.

②0 Стационарные токи и электрическое поле в сплошных средах.
Электросопротивление сплошной среды. Заземление.

Стационарные токи и электрическое поле в сплошных средах.

Электрический ток может \exists не только в проводах. Например, когда (особенно сырье) являются проводниками электрического тока.

Соответствующие определение сопротивления между электродами, введенными в сплошную среду.

Рассмотрим сплошную однородную среду с погруженными в неё электродами, между которыми протекает электрический ток.

Линии плотности тока совпадают с линиями напряженности электрического поля в среде, поскольку $\vec{J} = \lambda \vec{E}$.

Сила тока сквозь замкнутую поверхность S , окружающую один из электродов, равна: $I = \oint \vec{J} d\vec{S} = \lambda \oint \vec{E} d\vec{S}$

Теперь представим себе, что проводящая среда удалена, а электроды насыщиваются как обкладки конденсатора. По определению емкости с конденсатором имеем: $Q = C\Delta U$, где Q - заряд электрода, ΔU - разность потенциалов между электродами. По теореме Гаусса получаем: $\oint \vec{E} d\vec{S} = Q/\epsilon_0$, где \vec{E} - напряженность поля конденсатора,

S -та же поверхность, что и выше.

Однако вследствие единственности решения задач электростатики заданная разность потенциалов между заданными электродами однозначно определяет напряженность поля \Rightarrow напряженность поля в проводящей среде, по которой протекает ток I совпадает с напряженностью поля, создаваемого в вакууме между теми же электродами при той же разности потенциалов.

Потому из всех уравнений получим:

$$I = \frac{\lambda Q}{\epsilon_0} = \frac{\lambda C \Delta U}{\epsilon_0}$$

Тогда сопротивление однородной среды:

$$R = \Delta U / I = \epsilon_0 / (\lambda C)$$

△ Но, все эти рассуждения ~~также~~ для ^{не}однородной среды т.к. в ней при прохождении тока образуются обзимые заряды, которые являются источниками электрического поля.

В этом случае электрическое поле в среде при прохождении постоянного тока не совпадает с полем в вакууме, хотя электроды и поддерживаются при той же разности потенциалов.

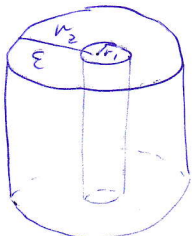
Условие применимости $R = \frac{\epsilon_0}{\lambda C}$.

Эта формула позволяет вычислить R , если известна емкость конденсатора, обкладками которого являются электроды. Результаты получаются тем точнее, чем лучше соблюдается постоянство потенциала электрода при прохождении через него тока. Если последнее требование плохо удовлетворяется и потенциалы разных токов электрода при прохождении по нему тока существенно различаются, то расчет R нельзя свести к рассчету C , поскольку у конденсатора потенциал всех токов обкладки должны быть одинаков.

Потому, в частности, необходимо потребовать малости удельного сопротивления электродов по сравнению с λ среды. Если электроды достаточно малы по размерам, то это требование отпадает.

a) Сопротивление сферического конденсатора с утечкой (см. Вопр. 18)

b) коаксиальный конденсатор с утечкой.



Емкость цилиндрического конденсатора $C = 2\pi\epsilon_0/\ln(r_2/r_1)$
(см. Влияние в первых Вопр.)

$$\Rightarrow R = \frac{\epsilon_0}{\lambda C} = \frac{\epsilon_0 \ln(r_2/r_1)}{2\pi\epsilon_0\lambda} = \frac{\ln(r_2/r_1)}{2\pi\lambda}$$

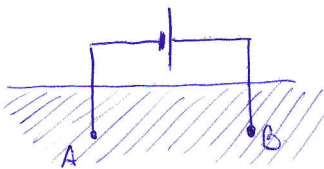
неоднородная среда.

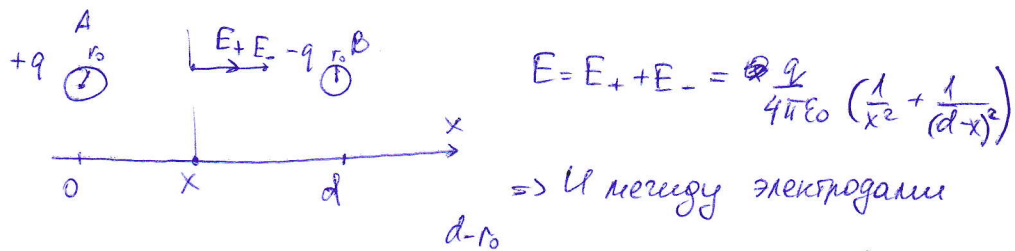
Если удельная проводимость не постоянна, то задача значительно усложняется, поскольку возникают объемные заряды и необходимо принимать во внимание неравнодействующее электрическое поле.

Заземление (мини-передача)

Задача: т.к. $\sigma \lambda$ (удельная электропроводимость) пружин довольно значительна, возникает вопрос об использовании земли в качестве проводника электрического тока. Рассчитать см. рис. (A и B - электроды, заряженные в землю). При этом можно сократить расход проводов вдвое.

Найдем сопротивление сплошной среды, если две электроды сферами радиуса r_0 . Расстояние между центрами электродов d . Заряд сферически симметричен, а среда неограничена.





$$U = \int_{r_0}^{d-r_0} Edx = \frac{q}{4\pi\epsilon_0} \cdot \left[-\frac{1}{x} + \frac{1}{(d-x)} \right]_{r_0}^{d-r_0} = \frac{q}{4\pi\epsilon_0} \cdot \left(-\frac{1}{d-r_0} + \frac{1}{r_0} + \frac{1}{r_0} - \frac{1}{d-r_0} \right)$$

В большинстве случаев $d \gg r_0$.

тогда $U = \frac{q}{2\pi\epsilon_0} \cdot \frac{1}{r_0}$, а т.к. $I = \oint \vec{J} ds = \lambda \oint \vec{E} ds = \lambda \frac{q}{4\pi\epsilon_0}$

$$R = \frac{U}{I} = \frac{q}{2\pi\epsilon_0} \cdot \frac{1}{r_0} \cdot \frac{\epsilon_0}{2\lambda} = \frac{1}{2\pi\lambda r_0}$$

! Важное свойство: сопротивление R не зависит от расстояния между ~~между~~ электродами. Физически обясняется тем, что при увеличении расстояния между электродами соответственно увеличивается эффективная площадь среды, через которую течет ток. Увеличение расстояния между электродами увеличивает сопротивление, а увеличение площади - уменьшает. Из формулы R следует, что эти 2 фактора компенсируют друг друга.

\Rightarrow Главный вклад в сопротивление среды дают участки, непосредственно граничащие с электродами.

Напряжение шага.

Произошел разрыв высоковольтной линии и провод длиной L легший на землю. В прилегающих ~~районах~~ областях земли имеется электрический ток. Если между ногами идет человек, то между концами его ног \exists разность потенциалов, называемая напряжением шага. В результате через тело человека проходит ток.

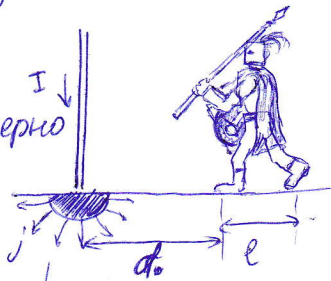
Считая, что ток от провода распределяется равномерно в получилиндрическую область, где плотность тока на расстоянии r от провода получаем:

$$J = I/\pi r L$$

$$E_r = J/r = I/(\pi r L)$$

$$\Rightarrow U_{sh} = \int_d^{d+l} E_r dr = \frac{I}{\pi r L} \ln \frac{d+l}{d}.$$

(при $I=500\text{ A}$, $d=3\text{ м}$, $l=65\text{ см}$, $L=30\text{ м}$ находит $U_{sh} 270\text{ В}$)



Эквивалентная линия - кондуктор из круглой получилиндрической поверхности (провод идет на L в глубь рисунка)

\Rightarrow Возникает опасность даже находящегося рядом сущевшим проводом.

② Магнитостатика. Взаимодействие токов. Элемент тока. Закон Био-Савара-Лапласа и его полевая трактовка. Вектор индуциции магнитного поля. Действие магнитного поля на ток. Закон Ампера.

Магнитное взаимодействие.

- взаимодействие между токами, магнитными полями, ~~и~~
В рамках представлений близкодействия это взаимодействие осуществляется магнитное поле.

Магнитостатика.

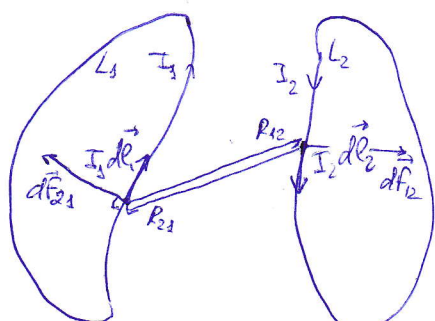
Магнитостатика - изучает законы взаимодействия между неподвижными магнитными полями и проводниками со стационарными токами.



$\vec{I} d\vec{l}$ - элемент тока (если этот I течет по бесконечному контуру (Форс. смысле) проводнику,

Сила взаимодействия между токами:

то он называется линейным током.



$$d\vec{F}_{21} = k \frac{[I_2 d\vec{l}_2, [I_1 d\vec{l}_1, \vec{R}_{21}]]}{R_{21}^3}$$

$$d\vec{F}_{32} = k \frac{[I_3 d\vec{l}_3, [I_2 d\vec{l}_2, \vec{R}_{32}]]}{R_{32}^3}$$

$$\vec{F}_{21} = k \iint_{L_1 L_2} \frac{[I_2 d\vec{l}_2, [I_1 d\vec{l}_1, \vec{R}_{21}]]}{R_{21}^3}; \quad \vec{F}_{32} = k \iint_{L_2 L_3} \frac{[I_3 d\vec{l}_3, [I_2 d\vec{l}_2, \vec{R}_{32}]]}{R_{32}^3}$$

$$\vec{F}_{12} = k \iint_{L_1 L_2} \frac{[I_2 d\vec{l}_2, [I_1 d\vec{l}_1, \vec{R}_{12}]]}{R_{12}^3}$$

$$- d\vec{F}_{12} \neq d\vec{F}_{21}$$

Для элемента тока III закон Ньютона не работает, однако для суперпозиции \sum взаимодействия замкнутых контуров с током III закон Ньютона выполняется $\vec{F}_{32} = -\vec{F}_{23}$.

Магнитная константа: $\mu_0 = 4\pi \cdot 10^{-7} \text{ ГН/М}$, $c_0 = 1/\epsilon_0 = 1/C^2 \rightarrow$ скорость света в вакууме.

$$k = \frac{\mu_0}{4\pi}$$

Магнитная индукция \vec{B} : - векторная величина, является основой характеристики магнитного поля (его действие на заряженные частицы) в данной точке пространства. Определяет, с какой силой \vec{F} магнитное поле действует на заряд q .

Закон Био-Савара-Лапласа. физический закон для определение вектора индуциации магнитного поля, породаемого стационарным током.

$$d\vec{B} = \frac{\mu_0}{4\pi} \frac{I [d\vec{l}_2, \vec{R}]}{R^3} \quad (\text{В произвольной точке пространства } \vec{R} \text{ элемент тока } I d\vec{l}_2 \text{ создает магнитное поле с индукцией } d\vec{B})$$

В С точки зрения полевой трактовки взаимодействие токов величину $d\vec{B}_2 = \frac{\mu_0}{4\pi} \frac{I_2 [d\vec{l}_2, \vec{R}_{21}]}{R_{21}^3}$ можно интерпретировать как основную характеристику магнитного поля, созданного элементом тока $I_2 d\vec{l}_2$ в произвольной точке, определяемой \vec{R}_{21} .

Величина индуцированного магнитного поля B_2 в точке R_{21} , создаваемого током всего контура L_2 , согласно принципу суперпозиции равна:

$$\vec{B}_2 = \sum d\vec{B}_2 = \cancel{\frac{\mu_0}{4\pi} \int I_2 d\vec{l}_2} \underbrace{\frac{\mu_0}{4\pi} \int I_2 \frac{[d\vec{l}_2, R_2]}{R^3}}$$

Тогда сила генерации магнитного поля B_2 на элемент тока $I_2 d\vec{l}_2$ равна:

$$d\vec{F}_{21} = [I_2 d\vec{l}_2, \frac{\mu_0}{4\pi} \cdot \underbrace{\frac{[I_2 d\vec{l}_2, R_{21}]}{R_{21}^3}}_{d\vec{B}_2}] = [I_2 d\vec{l}_2, \vec{B}_2] - \text{закон Ампера (сила Ампера)}$$

Пример расчета индуцированного магнитного поля с помощью закона Био-Савара-Лапласа:

$$|d\vec{l}| = dz, \quad d\vec{B} = \frac{\mu_0}{4\pi} \frac{[I d\vec{l}, \vec{R}]}{R^3}$$

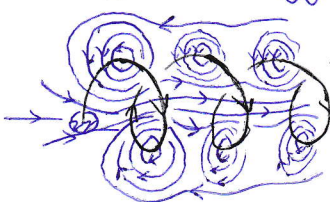
$$dB = \frac{\mu_0 I}{4\pi} \frac{dz \cdot R \sin(d+90^\circ)}{R^3} \cos d; \quad z = \tan d \cdot R.$$

$$dz = r \frac{1}{\cos^2 d} dd; \quad R \cos d = r$$

$$B = \int dB = 2 \frac{\mu_0 I}{4\pi} \int_0^\infty \frac{r \cos d dz}{R^3} = 2 \frac{\mu_0 I}{4\pi} \int_0^{\pi/2} \frac{\cos d}{R^2} r \frac{1}{\cos^2 d} dd = \frac{\mu_0 I}{2\pi} \int_0^{\pi/2} \frac{\cos d \cdot r}{r^2} dd =$$

$$= \frac{\mu_0 I}{2\pi r}.$$

Линии индуцированного поля:



магнитное поле в вакууме

- ② Векторный потенциал магнитного поля тока. Вихревой характер магнитного поля. Задание для векторного потенциала. Теорема о циркуляции вектора индуцированного магнитного поля в дифференциальной и интегральной форме.

Закон Био-Савара-Лапласа для эл. однозначного тока

$$\vec{R} = \vec{R} - \vec{R}', \quad I d\vec{l} = \vec{J} dS d\ell = \vec{J} dV \quad d\vec{B} = \frac{\mu_0}{4\pi} \frac{I [d\vec{l}, \vec{R}]}{R^3} = \frac{\mu_0}{4\pi} \frac{[\vec{J}(\vec{r}), \vec{R}]}{R^3} dV$$

$$\vec{B}(\vec{r}) = \frac{\mu_0}{4\pi} \int_V \frac{[\vec{J}(\vec{r}'), \vec{R}' - \vec{r}]/R'^3}{1} dV'$$

Векторный потенциал магнитного поля тока.

$$\nabla \cdot \frac{1}{|\vec{r} - \vec{r}'|} = -\frac{\vec{R}}{|\vec{R}|^3} \quad \left(\frac{\partial}{\partial x} \frac{1}{((x-x')^2 + (y-y')^2 + (z-z')^2)^{3/2}} = -\frac{1}{2} \frac{2(x-x')}{((x-x')^2 + \dots)^{3/2}} \right)$$

$$\vec{B}(\vec{r}) = \frac{\mu_0}{4\pi} \int_V \left[\vec{j}(\vec{r}'), \frac{\vec{R}}{|\vec{R}|^3} \right] dV' = \frac{\mu_0}{4\pi} \int_V \left[\nabla \cdot \frac{1}{|\vec{R}|}, \vec{j}(\vec{r}') \right] dV' \quad (\{Q; b\} = \{-b; a\})$$

$$\left[\nabla \cdot \frac{1}{|\vec{R}|}, \vec{j}(\vec{r}') \right] = \begin{vmatrix} i & j & k \\ \frac{\partial}{\partial x} \frac{1}{|\vec{R}|} & \frac{\partial}{\partial y} \frac{1}{|\vec{R}|} & \frac{\partial}{\partial z} \frac{1}{|\vec{R}|} \\ J_x & J_y & J_z \end{vmatrix} = \begin{vmatrix} i & j & k \\ \frac{\partial}{\partial x} & \frac{\partial}{\partial y} & \frac{\partial}{\partial z} \\ \frac{J_x}{R} & \frac{J_y}{R} & \frac{J_z}{R} \end{vmatrix} = [\nabla, \frac{\vec{j}}{R}] = \text{rot}_{\vec{r}} \frac{\vec{j}}{R}$$

$$\vec{B}(\vec{r}) = \frac{\mu_0}{4\pi} \int_V \text{rot}_{\vec{r}} \frac{\vec{j}}{R} dV' = \text{rot}_{\vec{r}} \int_V \underbrace{\frac{\mu_0}{4\pi R} \vec{j}}_{\vec{A}(r)} dV' = \text{rot} \vec{A}$$

$$\vec{A}(r) = \int_V \frac{\mu_0}{4\pi R} \vec{j} dV' - \text{(векторный потенциал магнитного поля } \vec{B} = \text{rot} \vec{A})$$

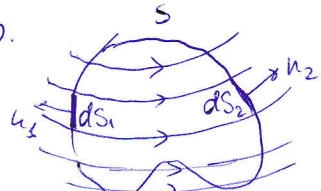
5) Представление $\vec{B} = \text{rot} \vec{A}$ неоднозначно: $\vec{A}' = \vec{A} + \text{grad} \varphi$, т.к. $\text{rot}(\text{grad} \varphi) = 0$.

Выхревой характер магнитного поля.

$$\text{div} \vec{B} = \text{div}(\text{rot} \vec{A}) = 0, \text{т.к.}$$

$$\frac{\partial}{\partial x} \left(\frac{\partial A_z}{\partial y} - \frac{\partial A_y}{\partial z} \right) + \frac{\partial}{\partial y} \left(\frac{\partial A_x}{\partial z} - \frac{\partial A_z}{\partial x} \right) + \frac{\partial}{\partial z} \left(\frac{\partial A_y}{\partial x} - \frac{\partial A_x}{\partial y} \right) = 0, \text{т.е. магнитное поле выхревое.}$$

По формуле Тайса: $\int_V \vec{B} dS = \int_V \text{div} \vec{B} dV = 0$.



Справление для векторного потенциала.

$$\vec{A} = \frac{\mu_0}{4\pi} \int_V \frac{\vec{j}(\vec{r}')}{|\vec{r} - \vec{r}'|} dV' . \quad \text{Аналогиче с электростатикой}$$

$$\varphi(\vec{r}) = \frac{1}{4\pi\epsilon_0} \int_V \frac{q(\vec{r}')}{|\vec{r} - \vec{r}'|} dV' \Rightarrow \Delta \varphi = -\frac{q}{\epsilon_0}$$

$$\Rightarrow \Delta \vec{A} = -\mu_0 \vec{j}$$

Теорема оциркуляции вектора индукции магнитного поля.
 $\text{rot} \vec{B} = \text{rot} \text{rot} \vec{A} = \text{grad} \text{div} \vec{A} - \Delta \vec{A} = \mu_0 \vec{j}$

из-за неоднозначности векторного потенциала на потенциал налагаются определение условие (обязано $\text{div} \vec{A} = 0$)

$\text{rot} \vec{B} = \mu_0 \vec{j}$ {дифференциальная форма теоремы оциркуляции вектора магнитной индукции.}

По формуле Стокса:

$$\oint \vec{B} d\vec{l} = \int_{S_L} \text{rot} \vec{B} d\vec{S} = \mu_0 \int_{S_L} \vec{J} d\vec{S} = \mu_0 \sum I.$$

$\oint \vec{B} d\vec{l} = \mu_0 \int_{S_L} \vec{J} d\vec{S}$ интегральная форма теоремы оциркуляции вектора магнитной индукции.

Уциркулирующие вектора \vec{B} вдоль контура равны сумме токов ~~внутри~~ проходящих через этот контур на μ_0 .

$$B(R) = \frac{\mu_0 I}{2\pi R} \quad (\text{уточненная формула})$$

$$B_{\text{вн}} = \mu_0 N I$$

$$\Rightarrow B = \mu_0 I$$

Система идейных уравнений магнитостатики в вакууме.

$$\begin{cases} \text{div} \vec{B} = 0 \\ \text{rot} \vec{B} = \mu_0 \vec{J} \end{cases} \quad \begin{cases} \int_{S_L} \vec{B} d\vec{S} = 0, \\ \oint \vec{B} d\vec{l} = \mu_0 \sum I \end{cases}$$

(23) Релевицкая природа магнитных взаимодействий, Сила Ампера. Магнитное движущееся заряда. Заряд Колла.

Рассмотрим проводника движущегося со скоростью v

$$E_2 = \frac{L \cdot Q_2}{2\pi R L \cdot \epsilon_0} \quad (\text{из теоремы Аероградского-Яггца})$$

$$F_k = \mu_0 \cdot I \cdot L \cdot v$$

a_1 и a_2 - линейные плотности зарядов.

$$f_k = a_1 E_2 = \frac{1}{2\pi \epsilon_0 R} \cdot Q_2 a_2$$

f_k - линейная сила $\left[\frac{F_k}{L} \right]$

а ток, текущий по проводу $I_1 = a_1 v$ и $I_2 = a_2 v$, $B_1 = \frac{1}{2\pi R} \mu_0 I_1$; $B_2 = \frac{1}{2\pi R} \mu_0 I_2$

$$f_A = I_1 \cdot B_2 = I_1 \frac{\mu_0 I_2}{2\pi R} = \frac{\mu_0}{2\pi} \frac{a_1 a_2 v^2}{R}$$

$$f = f_k - f_A = \frac{1}{2\pi \epsilon_0 R} \frac{a_1 a_2}{R} - \frac{\mu_0}{2\pi} \frac{a_1 a_2 v^2}{R} = \frac{1}{2\pi \epsilon_0 R} \frac{a_1 a_2}{R} (1 - \frac{\mu_0 v^2}{c^2}) < f_k$$

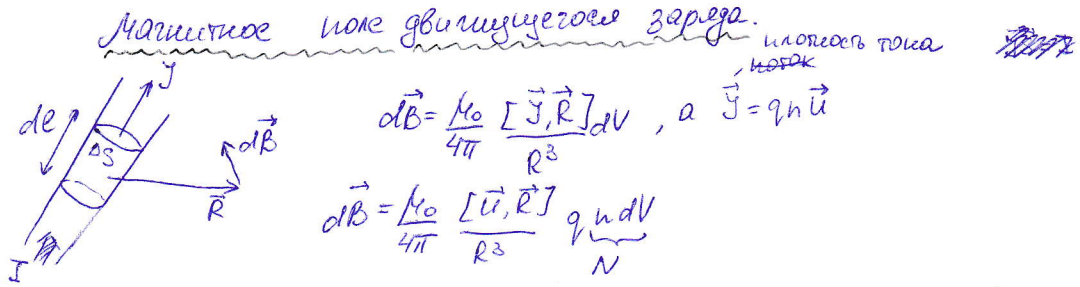
Из-за релевицких эффектов $f'_k > f_k$,

т.к. длина провода "увеличивается" \Rightarrow плотность зарядов возрастает.

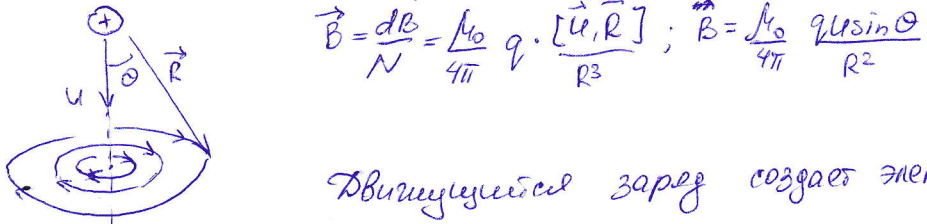
$$\text{т.к. } q = \text{const} \quad \text{и } l = l_0 \sqrt{1 - \frac{v^2}{c^2}}, \text{ то } Q = \frac{q_0}{\sqrt{1 - \frac{v^2}{c^2}}}$$

$$\Rightarrow f = \frac{1}{2\pi \epsilon_0 R} \frac{a_1 a_2}{R} \frac{(1 - \frac{\mu_0 v^2}{c^2})}{1 - \frac{v^2}{c^2}} \Rightarrow \text{если } \epsilon_0 \mu_0 = \frac{1}{c^2}, \text{ то } f = f'_k - f'_A = f_k$$

$$f'_A = \frac{\mu_0}{2\pi} \frac{a_1 a_2 v^2}{R} = \frac{\mu_0}{2\pi \epsilon_0 R} \frac{1 \cdot a_1 a_2 \cdot \epsilon_0 \mu_0 v^2}{c^2} = f_k \cdot \frac{v^2}{c^2} \Rightarrow \text{сила Ампера - релевицкая} \propto v^2/c^2 \text{ в стат.случае Кулона.}$$



но определение B ($\vec{u} = \frac{d\vec{r}}{dt}$, а $u/dt = I$)



Движущийся заряд создает элемент тока $q\vec{u} = q\frac{d\vec{r}}{dt} = I\vec{dl}$

$$\vec{B} = \frac{\mu_0}{4\pi} q \cdot \frac{[\vec{u}, \vec{R}]}{R^3} = \underbrace{\epsilon_0 \mu_0}_{\propto c^2} \underbrace{[\vec{u}, \frac{1}{4\pi \epsilon_0} \frac{q \vec{E}}{R^3}]}_{\vec{E}} = \frac{1}{c^2} [\vec{u}, \vec{E}]$$

Силы, действующие на токи в магнитном поле. Сила Лоренца.

$$d\vec{F}_A = I[d\vec{l}, \vec{B}] = [\vec{J}, \vec{B}]dV; F_A = I \int [d\vec{l}, \vec{B}] = \int [\vec{J}, \vec{B}]dV$$

Так как ~~состоит~~ элемент тока ^в движущегося заряда $I\vec{dl} = q\vec{u}$, то сила, действующая на движущийся заряд в магнитном поле, равна:

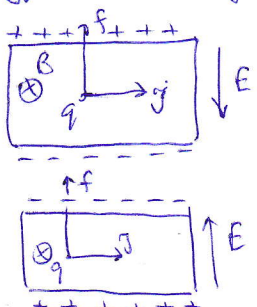
$$\vec{F} = q[\vec{u}, \vec{B}]$$

Если имеется и электрическое поле, то $\vec{F} = q\vec{E} + q[\vec{u}, \vec{B}]$ ~~Сила Лоренца.~~

Эффект Холла.

На заряды, движением которых обуславливается ток, действует сила Ампера. Лоренца.

~~$f = [\vec{J} \cdot \vec{B}] = nq[\vec{S} \cdot \vec{B}]$~~ , где n -концентрация, q -заряд, \vec{S} -скорость движения заряда.



Под действием \vec{B} f заряды смешаются в направлении этой силы. В результате на соответствующей части поверхности проводника образуется избыток зарядов того же знака, что и зарядов движущихся ток. Рисунки соответствуют: верхний $q > 0$, нижний $q < 0$.

Появляется разность потенциалов между противоположными концами проводника. \Rightarrow появляется E , которое нейтрализует эту силу Лоренца. Возникновение разности потенциалов в проводнике с током в магнитном поле называется эффектом Холла.

$$E_{\text{Холла}} = B \cdot V - поле Холла. d$$

Разность потенциалов: $U = \int dB dx = dB dL$, где d -толщина проводника. Т.к. $J = nqV$,

$$\Rightarrow U = dJB/(nq) = RJBd$$

где $R = 1/(nq)$ - постоянная Холла. \Rightarrow можно вычислить концентрацию зарядов.

(24)

Элементарный ток и его магнитный момент. Поле элементарного тока.

Элементарный ток в магнитном поле.

Элементарный ток - это линейный замкнутый ток, обтекающий поверхность с бесконечно малыми линейкими размерами.

Diagram illustrating the calculation of the magnetic field of an elementary current loop. On the left, a circular loop of radius r carries current I . The magnetic field \vec{A} is calculated using the formula $\vec{A} = \frac{\mu_0}{4\pi} \int \frac{Idl}{|\vec{r}-\vec{r}'|}$, where dl is an element of length along the loop. The resulting field is $\vec{A}(r)_x = \frac{\mu_0}{4\pi} \int \frac{Idl'_x}{|\vec{r}-\vec{r}'|} = \frac{I}{4\pi r} \cdot \frac{1}{c^2} \int \frac{Idl'_x}{|\vec{r}-\vec{r}'|}$, where $c^2 = \frac{1}{\epsilon_0 \mu_0}$.

Below, two configurations are shown: a general contour of an elementary current loop and a rectangular loop divided into four quadrants with charges $+q$ and $-q$ and currents I flowing through them.

$$\vec{p}_m = IS - \text{магнитный момент элементарного тока.}$$

Элементарный ток произвольной формы можно свести к совокупности прямолинейных элементарных токов.

Diagram showing a complex current distribution in a circular cross-section, decomposed into a sum of elementary currents $\vec{p}_m = \sum_n \vec{p}_m^n = \sum_n \vec{IS}_n = I \sum_n \vec{S}_n = IS$.

$$\text{Векторный потенциал через магнитный момент: } \vec{A} = \frac{\mu_0}{4\pi} \frac{[\vec{p}_m, \vec{r}]}{r^3}$$

Поле элементарного тока:

$$\vec{B} = \text{rot} \vec{A} = [\nabla, \vec{A}] = \left[\nabla, \frac{\mu_0}{4\pi} \left[\vec{p}_m, \frac{\vec{r}}{r^3} \right] \right] = [a [BC]] = (B(ac) - C(ab))$$

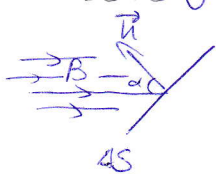
$$= \frac{\mu_0}{4\pi} \left(\vec{p}_m (\nabla \frac{\vec{r}}{r^3}) - (\vec{p}_m \nabla) \frac{\vec{r}}{r^3} \right);$$

$$(\nabla \frac{\vec{r}}{r^3}) = \frac{(\nabla \vec{r})}{r^3} + (\vec{r}, \nabla \frac{1}{r^3}) = \frac{3}{r^3} - \frac{\vec{r} \cdot 3\vec{r}}{r^5} = 0; \quad (\vec{p}_m \nabla) \frac{\vec{r}}{r^3} = \frac{(\vec{p}_m \nabla) \vec{r}}{r^3} + \vec{r} (\vec{p}_m \nabla) \frac{1}{r^3} =$$

$$= \frac{\vec{p}_m}{r^3} - \vec{r} \left(\vec{p}_m \frac{3\vec{r}}{r^5} \right); \quad B = \frac{\mu_0}{4\pi} \left(\frac{3(\vec{p}_m \cdot \vec{r}) \vec{r}}{r^5} - \frac{\vec{p}_m}{r^3} \right)$$

(25) Поток вектора магнитной индукции (магнитный поток). Потенциальная функция тока. Сила, действующая на контур с током в неоднородном магнитном поле.

Поток вектора магнитной индукции (магнитный поток).



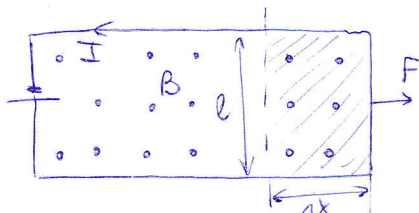
$$\Delta \Phi = B_0 S \cos \alpha = \vec{B} \cdot \vec{dS} = B_n dS$$

$$\Phi = \int \vec{B} \cdot \vec{dS}$$

Можно выразить поток вектора магнитной индукции через векторный потенциал:

$$\Phi = \oint \vec{A} \cdot d\vec{l}$$

Работа сил Ампера. Потенциальная функция тока.



$$F = ILB, \text{ а } dA = F dx = ILB dx = I \underbrace{\vec{B} \cdot \vec{dS}}_{BS_2 - BS_1} = I(\Phi_2 - \Phi_1) = I \Delta \Phi$$

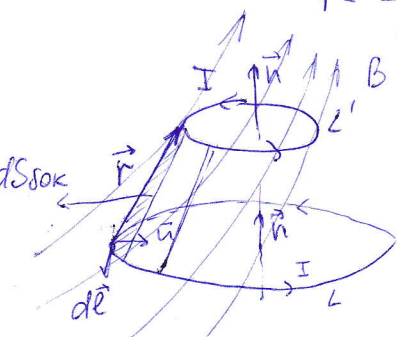
Определите потенциальную функцию тока $U = -IP$,
тогда $dA = F dx = -dU$, из этого соотношения:

$$F = -\frac{dU}{dx} = -\frac{\partial U}{\partial x}$$

$$dA = (\vec{r} \cdot d\vec{F}) = (\vec{r} \cdot [I d\vec{l}, \vec{B}]) = I(\vec{B} \cdot [\vec{r} d\vec{l}])$$

$$dA = (\vec{r} \cdot d\vec{F}) = (\vec{r} \cdot [I d\vec{l}, \vec{B}]) = I(\vec{B} \cdot [\vec{r} d\vec{l}]) = I(\vec{B} d\vec{S}_{\text{тек}})$$

$$dA = I \oint (\vec{B} d\vec{S}) = I d\Phi_{\text{тек}}$$



$$\Phi_L = \int \vec{B} d\vec{S}; \Phi_{L'} = \int \vec{B} d\vec{S}$$

$$\Phi_L + \Delta \Phi_{\text{тек}} = \Phi_{L'} \Rightarrow \Phi_{L'} - \Phi_L = \Delta \Phi_{\text{тек}} = \Delta \Phi_L$$

$$\text{Имеем } dA = Id\Phi_L = -dU \Big|_{I=\text{const}}, \text{ где } U = -IP_L$$

Используя потенциальную или силовую функцию, можно рассчитать обобщенные силы, действующие на контур с током.

$$dA = \sum_{i=1}^N f_i d\xi_i = -dU(\xi_1, \xi_2, \dots, \xi_N) = -\sum_{i=1}^N \frac{\partial U}{\partial \xi_i} \Big|_{I=\text{const}} d\xi_i$$

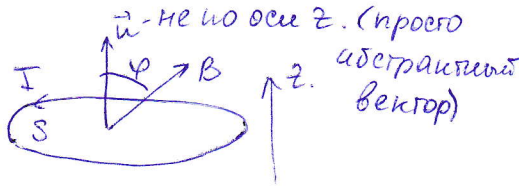
$$F_i = -\frac{\partial U}{\partial \xi_i} \Big|_{I=\text{const.}}$$

Пример:

$$dA = M_2 d\varphi = -\frac{\partial U}{\partial \varphi} d\varphi; U = -I\varphi = -IBS \cos\varphi.$$

$$M_2 = -\frac{\partial U}{\partial \varphi} = -\underbrace{IS}_{\vec{P}_m} \cdot B \sin\varphi \Rightarrow \vec{M} = [\vec{P}_m; \vec{B}]$$

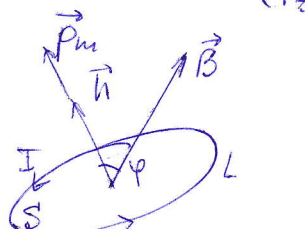
(просто посмотрел)



Сила, действующая на контур с током в неоднородном магнитном поле.

Для элементарного тока, когда $I = \text{const}$ и $S = \text{const}$, потенциальная функция будет равна энергии взаимодействия элементарного тока сим магнитного момента с внешним полем:

$$U = W = -(\vec{P}_m \cdot \vec{B}); \Rightarrow \left\{ \begin{array}{l} F_x = -\frac{\partial U}{\partial x} \\ F_y = -\frac{\partial U}{\partial y} \\ F_z = -\frac{\partial U}{\partial z} \end{array} \right\} \vec{F} = -\nabla U = \nabla (\vec{P}_m \cdot \vec{B})$$

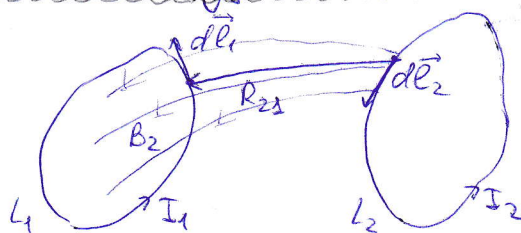
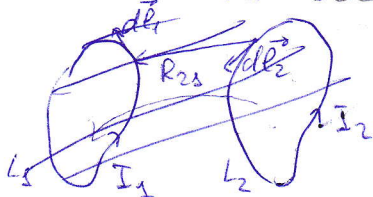


$$[\underbrace{\vec{P}_m}_{\alpha}, \underbrace{\nabla \cdot \vec{B}}_{\beta}, \underbrace{\vec{B}}_{\gamma}] = \nabla (\vec{P}_m \cdot \vec{B}) - \vec{B} (\vec{P}_m \cdot \nabla)$$

$$\vec{F} = \nabla (\vec{P}_m \cdot \vec{B}) = (\vec{P}_m \cdot \nabla) \vec{B} + [\vec{P}_m, \underbrace{\nabla \cdot \vec{B}}_{\text{rot } \vec{B}}]$$

$$\text{Если } \text{rot } \vec{B} = 0, \text{ то } \vec{F} = (\vec{P}_m \cdot \nabla) \vec{B}$$

коэффициент взаимной индукции двух контуров



$$P_{12} = \iint_{S_{12}} \vec{B}_2 \cdot d\vec{S}_1 = \iint_{L_1} \vec{A}_2 \cdot d\vec{e}_1 =$$

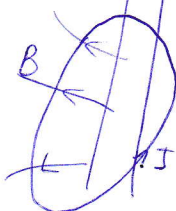
$$= \iint_{L_1} \left(\frac{\mu_0}{4\pi} \iint_{L_2} \frac{I_2 d\vec{e}_2}{R_{21}} \right) d\vec{e}_1 = \underbrace{\left(\frac{\mu_0}{4\pi} \iint_{L_1} \iint_{L_2} \frac{d\vec{e}_2 d\vec{e}_1}{R_{21}} \right)}_{L_{12}} I_2 = L_{12} I_2$$

Аналогично получаем: $P_{21} = L_{21} I_1$, где $L_{21} = L_{12}$

Индуктивность (коэффициент самониндукции) - коэр. пронизывающая любое же между эл.током, текущим в каком-либо замкнутом контуре, и магнитным потоком, создаваемым этим током через поверхность, граничей которого является этот контур.

$$\Phi = LI.$$

$$\Phi = \int \vec{B} d\vec{s} = LI.$$



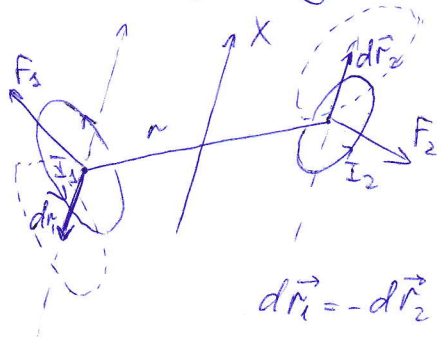
коэффициенты индуктивности контуров с током

$$\begin{matrix} \text{I}_1 \\ \text{I}_2 \end{matrix}$$

$$\Phi_1 = L_1 I_1 + L_{12} I_2; \quad \Phi_2 = L_{21} I_1 + L_{22} I_2.$$

$\Phi_{ij} = \sum_j L_{ij} I_{ij}$; $L_{ij} = L_{ji}$ - коэффициенты взаимоиндукции.

Взаимодействие двух контуров с током!



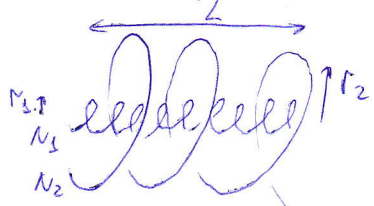
$$F_{2x} = -\frac{\partial U_2}{\partial x_2} = I_2 \frac{\partial \Phi_2}{\partial x_2} = I_2 I_1 \frac{\partial L_{12}}{\partial x_2}$$

$$F_{1x} = -\frac{\partial U_1}{\partial x_1} = I_1 \frac{\partial \Phi_1}{\partial x_1} = I_1 I_2 \frac{\partial L_{12}}{\partial x_1}$$

$d\vec{r}_1 = -d\vec{r}_2$, $\frac{\partial L_{12}}{\partial x_1} = -\frac{\partial L_{21}}{\partial x_2}$ должны быть одинаковые изменения L_{12} и L_{21} , тогда $L_{21} = L_{12}$.

$$F_{1x} = -F_{2x} \Rightarrow \vec{F}_1 = -\vec{F}_2$$

Рассмотрим 2 соленоида провода, находящихся один за другой.



$$\begin{aligned} \Phi_2 &= B_2 N_2 \pi r_2^2 + B_1 N_2 \pi r_1^2 = \\ &= \underbrace{\mu_0 N_2}_{l} I_2 N_2 \pi r_2^2 + \underbrace{\mu_0 N_1}_{B_1} I_1 N_2 \pi r_1^2 = \end{aligned}$$

B_2 (из теор. о циркуляции)

$$= \underbrace{\frac{\mu_0 N_2 N_2 \pi r_2^2}{l}}_{L_{22}} I_2 + \underbrace{\frac{\mu_0 N_1 N_2 \pi r_1^2}{l}}_{L_{21}} I_1$$

$$\begin{aligned} \text{Аналогично: } \Phi_1 &= B_1 N_1 \pi r_1^2 + B_2 N_1 \pi r_1^2 = \underbrace{\mu_0 N_1}_{l} I_1 N_1 \pi r_1^2 + \underbrace{\mu_0 N_2}_{l} I_2 N_2 \pi r_1^2 = \underbrace{\mu_0 N_1^2 \pi r_1^2}_{L_{11}} I_1 + \\ &+ \underbrace{\frac{\mu_0 N_2 N_1 \pi r_1^2}{l}}_{L_{12}} I_2 \Rightarrow L_{12} = L_{21}. \end{aligned}$$

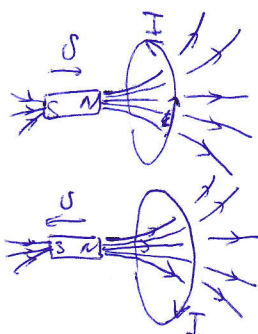
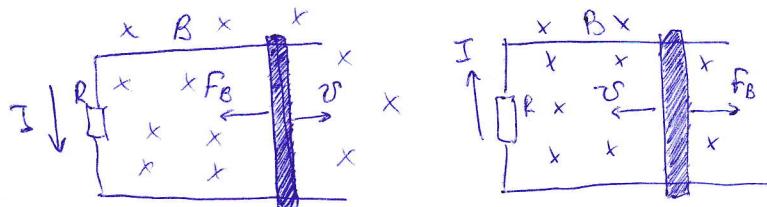
26) Электромагнитная индукция. Закон электромагнитной индукции Фарадея и его формулировка в дифференциальной форме. Правило Ленца. Магнитодинамические методы измерения магнитных полей.

При движении проводника в магнитном поле его свободные электроны под действием силы Лоренца приводятся в движение относительно проводника, т.е. в проводнике возникает электрический ток. Это явление называется индуцией токов в движущихся проводниках.

Действие электромагнитной индукции - возникновение электрического тока в замкнутом проводнике при изменении потока магнитной индукции в этом контуре.

Правило Ленца.

Индукционный ток всегда имеет такое направление, что он ~~ослабляет действие~~ создаваемое им поле препятствует изменению магнитного потока.



ток I компенсирует
увеличение потока через колпак
от магнита

ток I компенсирует
уменьшение потока через
колпак от магнита

Закон электромагн. индукции Фарадея и его формулировка в инт. форме

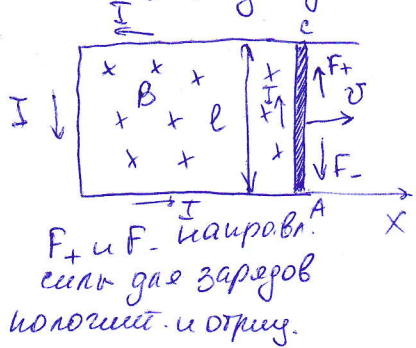
$\mathcal{E}_e = f \frac{d\Phi}{dt}$, где f -коэффициент пропорциональности, зависящий от выбора единиц. В системе СИ $f = -1$.

$\mathcal{E}_e = - \frac{d\Phi}{dt}$, где знак минус согласует знаки ЭДС индуцированной и изменяющейся потоков магнитной индукции.

Выбор положительной нормали к поверхности контура определяет положительное направление проекции вектора индуцированного магнитного поля (положительное значение потока магнитного поля) и тока (или ЭДС) индуцированной. В приведенной записи закон Э.М. индукции соответствует правилу Ленца.

Вывод формулы для Резнера:

1) Резнер в движущ. проводниках.



Сила Лоренца: $\vec{F} = q[\vec{v}, \vec{B}]$ - сторниальная сила, создающая ЭДС.

$$\vec{E} = \frac{\vec{F}}{q} = [\vec{v} \cdot \vec{B}]$$

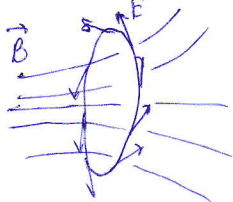
$$q_{\text{резнера}} = \int_A^C \vec{F} d\vec{l} = \int_A^C ([\vec{v}, \vec{B}] d\vec{l}) = \vec{v} B l = \frac{d(x B l)}{dt} = - \frac{d\Phi}{dt}$$

(вектор \vec{B} в проводнике ирак $\Phi = \vec{B} \cdot \vec{S} = -BS$)

а) Вывод формулы из З.С.Т. (Метод Январкова)

Если виток движется в стационарном магнитном поле. Тогда сопротивлением совершает работу: $\Delta A = I \Delta \Phi$, и в контуре выделено количество тепла: $\Delta Q = I^2 R \Delta t$. Механическим этой работы и тепловой энергии является ЭДС сторонних сил в контуре: $E_{\text{лат}} = \Delta Q + \Delta A = I^2 R \Delta t + I \Delta \Phi \Rightarrow I = \frac{l}{R} \left(E_{\text{лат}} - \frac{\Delta \Phi}{\Delta t} \right) \Rightarrow$ в контуре возникает ЭДС индуцированная.

Закон Фарделя в диф. форме:



Максвелловская трактовка электромагнитной индукции:
формула = $\oint \vec{E} d\vec{l}$;

$$\Phi = \int_S \vec{B} d\vec{S} \quad \oint \vec{E} d\vec{l} = - \frac{d}{dt} \int_S \vec{B} d\vec{S}$$

$$\text{По формуле Стокса: } \oint \vec{E} d\vec{l} = \int_S \text{rot} \vec{E} d\vec{S} \Rightarrow \int_S \text{rot} \vec{E} d\vec{S} = - \frac{d}{dt} \int_S \vec{B} d\vec{S} = - \int_S \frac{\partial \vec{B}}{\partial t} d\vec{S}$$

$$\Rightarrow \text{rot} \vec{E} = - \frac{\partial \vec{B}}{\partial t} \text{ - трактовка закона Фарделя в диф. форме.}$$

Нелинейность индукционного эл. поля:

т.к. $\frac{\partial \vec{B}}{\partial t} \neq 0$, то $\text{rot} \vec{E} \neq 0$.

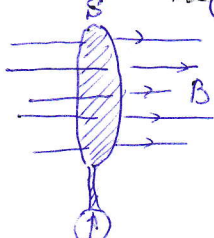
$$\Rightarrow \vec{E} \neq -\text{grad} \varphi \text{ и } \oint \vec{E} d\vec{l} \neq 0.$$

— В нестационарном случае магнитное поле остается вихревым, т.е. $\text{div} \vec{B} = 0 \Rightarrow \vec{B} = \text{rot} \vec{A}$. Тогда по закону электромагнитной индукции:

$$\text{rot} \vec{E} = - \frac{\partial \vec{B}}{\partial t} = - \frac{\partial}{\partial t} \text{rot} \vec{A} = - \text{rot} \frac{\partial \vec{A}}{\partial t} \Rightarrow \text{rot} (\vec{E} + \frac{\partial \vec{A}}{\partial t}) = 0 \Rightarrow \vec{E} + \frac{\partial \vec{A}}{\partial t} = - \nabla \varphi, \text{ т.е. } \vec{E}$$

$$\vec{E} = - \nabla \varphi - \frac{\partial \vec{A}}{\partial t}$$

Индукционное методом измерение магнитных полей.

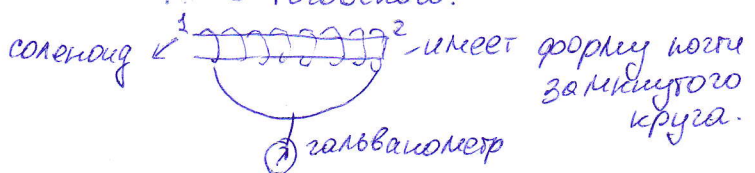


$$I = - \frac{1}{R} \frac{d\Phi}{dt}; \Phi = \int_S I dt = - \frac{1}{R} \int_S I dt = \frac{\Phi}{R}$$

На этом соотношении основано определение ед. магн. потока в системе: Вебер-магнитный поток, при умножении которого на единицу сечения контура сопротивлением 1 Ом проходит кол-во электрического тока 1 А.

\Rightarrow Тесла - магнитная индукция, при которой магнитный поток сквозь попреренное сечение пасмусадью 1 m^2 равен 1 Втс.

Полос Роговского:



$$\Phi = \int_1^2 S u \vec{B} d\vec{l} = S u \int_1^2 \vec{B} d\vec{l} \Rightarrow \int_1^2 \vec{B} d\vec{l} = \frac{\Phi}{S u} = \frac{R}{S u} q = a q$$

q - коэф. гальванометра.

Токи Рогов (бух.)